

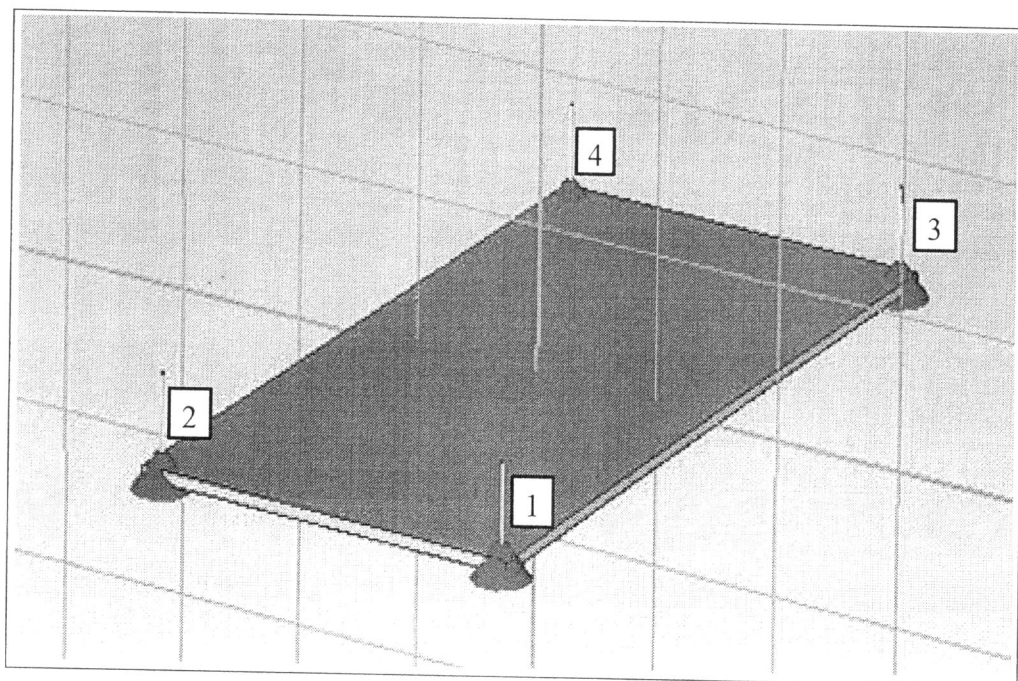
บทที่ 4 การทดสอบวิธีทำตัวแบบที่เหมาะสม

4.1 กล่าวนำ

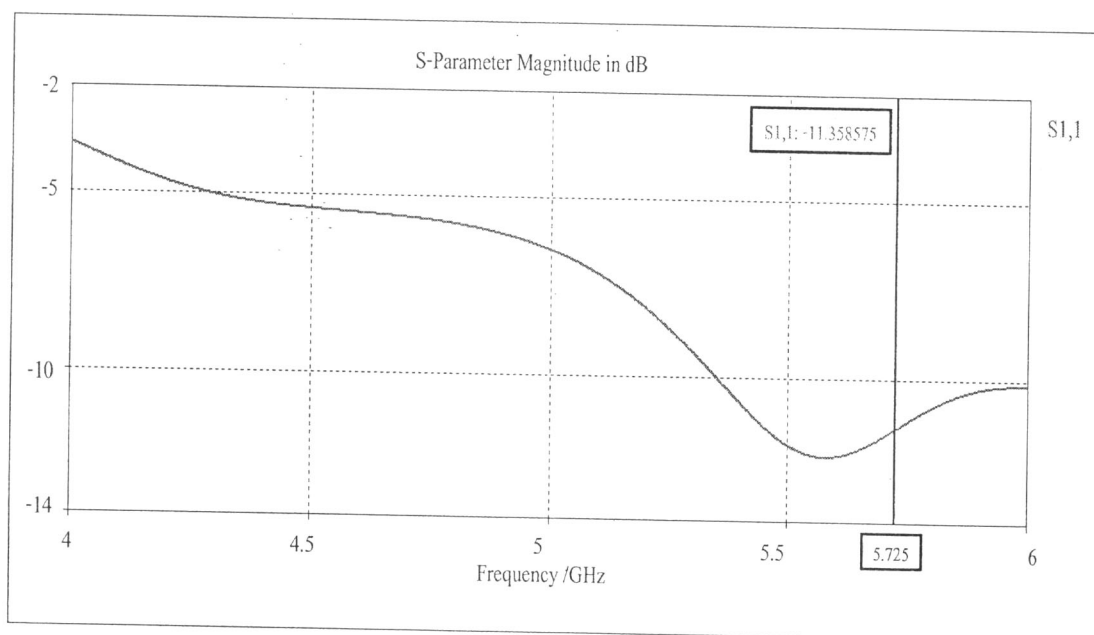
เนื้อหา ก่อนหน้านี้ อธิบายถึงทฤษฎีพื้นฐานการสื่อสารในระบบไม่โน โดยกล่าวถึงทฤษฎีความจุช่องสัญญาณ โดยได้ทำการแสดงสมการช่องสัญญาณ 2 แบบ จำลองคือ ช่องสัญญาณแบบมีความอิสระต่อกันและมีการแยกแข่งเหมือนกัน โดยพิจารณาช่องสัญญาณการจ้างหายแบบเลบลี และช่องสัญญาณแบบ “Two-Ring” โดยพิจารณาอนุมูลที่กระทำกันระหว่างภาครับและภาคส่งจากนั้น ได้อธิบายถึงปรากฏการณ์การเชื่อมต่อร่วมที่ผลต่อการจัดวางสายอากาศโดยประยุกต์ทฤษฎี N-พอร์ต โดยใช้การพิจารณา Z อิมพีเดนซ์ เพื่อพิจารณาถึงผลกระทบของการจัดวางสายอากาศโดยพิจารณาถ้าความจุช่องสัญญาณในระบบไม่โน โดยใช้วิธีการทำค่าที่เหมาะสมที่สุดระเบียบวิธีจินเจนติกอัลกอริทึมมาใช้ในการทำตัวแบบที่เหมาะสมของการจัดวางสายอากาศบนโครงสร้างเคลื่อนที่ โดยได้ใช้ optimization toolbox ในโปรแกรมแมทแลป เพื่อหาตัวแบบที่เหมาะสมที่สุดในการจัดวางสายอากาศ จากนั้นได้ใช้โปรแกรม CST microwave studio ในการจำลองแบบก่อนทำการวัดจริง

4.2 รูปแบบการจัดวางตัวแบบสายอากาศ (ANTENNA CONFIGURATION)

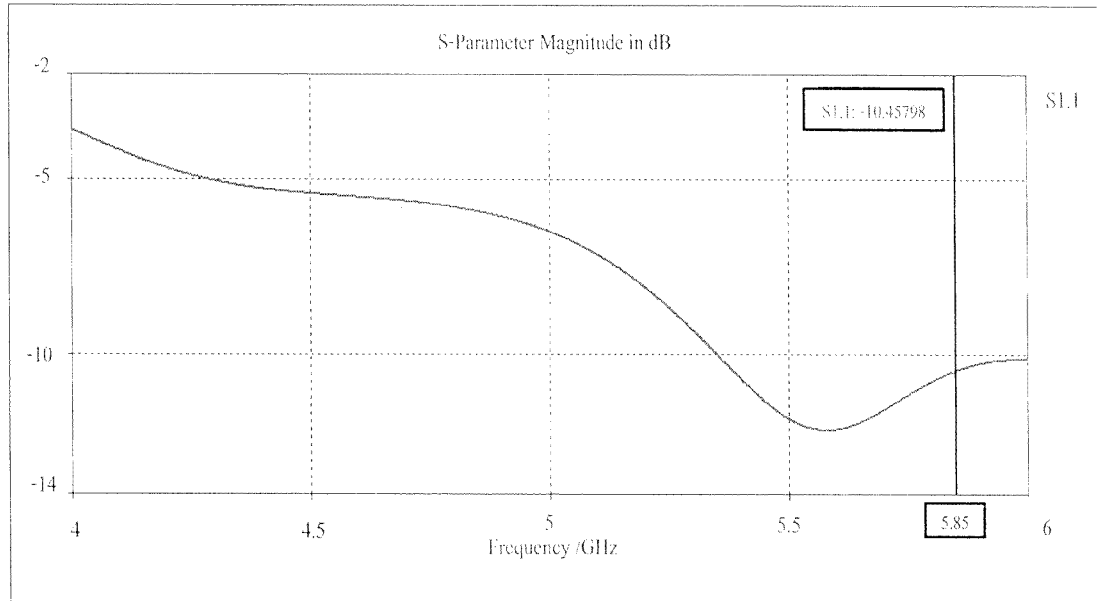
ในเบื้องต้นสำหรับการวิเคราะห์ถึงผลกระทบของการจัดวางตัวของสายอากาศ ในโครงการวิจัยนี้ สายอากาศที่ใช้คือ สายอากาศไมโน โพลซึ่งเป็นสายอากาศเส้นลวดตรงที่มีต้นแบบมาจากสายอากาศไดโพล เพียงแต่นำมาใช้เพียงครึ่งหนึ่งของความยาวไดโพลและมีการป้อนสัญญาณเข้าที่กึ่งกลางของไดโพลโดยเทียบกับระนาบกราวด์ (ground plane) ดังนั้นความยาวของไมโน โพลจึงเท่ากับหนึ่งในสี่ของความยาวคลื่นใช้งาน โดยได้ทำการออกแบบสายอากาศในย่านความถี่ 5.725-5.85 GHz ซึ่งสามารถรองรับคลื่นความถี่ตามมาตรฐาน IEEE 802.16c (Mobile wimax) ได้จำลองผลจากโปรแกรม CST microwave studio ก่อนทำการสร้างวัดจริง



รูปที่ 4-1 ผลการจำลองด้วยโปรแกรม CST microwave studio

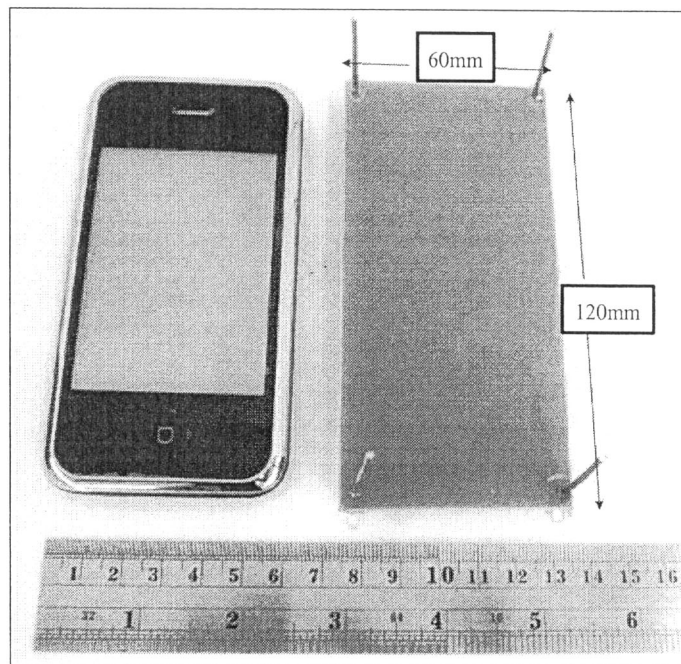


รูปที่ 4-2 ผลค่าการสูญเสียขอนกลับของสายอากาศ s11 ที่ ที่ความถี่ 5.725 GHz

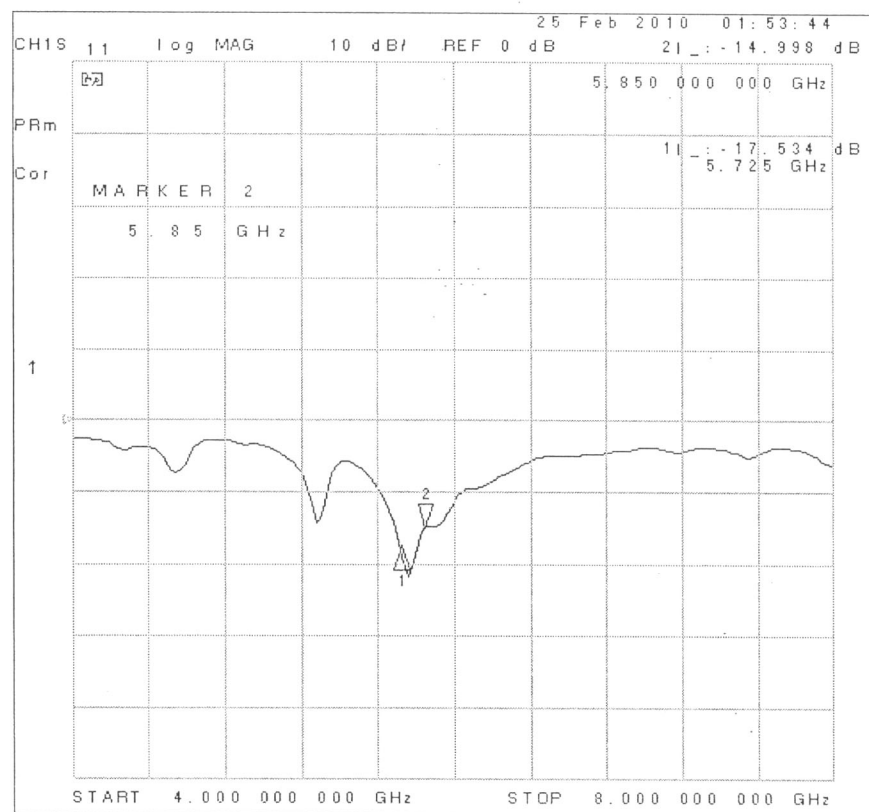


รูปที่ 4-3 ผลค่าการสูญเสียข้อนกลับของสายอากาศ r11 ที่ความถี่ 5.85GHz

เมื่อได้ทำการจำลองการสร้างสายอากาศในโปรแกรม CST microwave studio จากรูปที่ 4-1 จึงได้แสดงผลค่าการสูญเสียข้อนกลับของสายอากาศ r11 ในช่วงความถี่ที่ใช้งานจากรูปที่ 4-2 และ 4-3 แสดงค่าการสูญเสียข้อนกลับของสายอากาศ r11 มีค่าที่ต่ำกว่า -10db ซึ่งถือว่าใช้งานได้และต่อมาจึงได้มาทำการสร้างวัสดุจริง



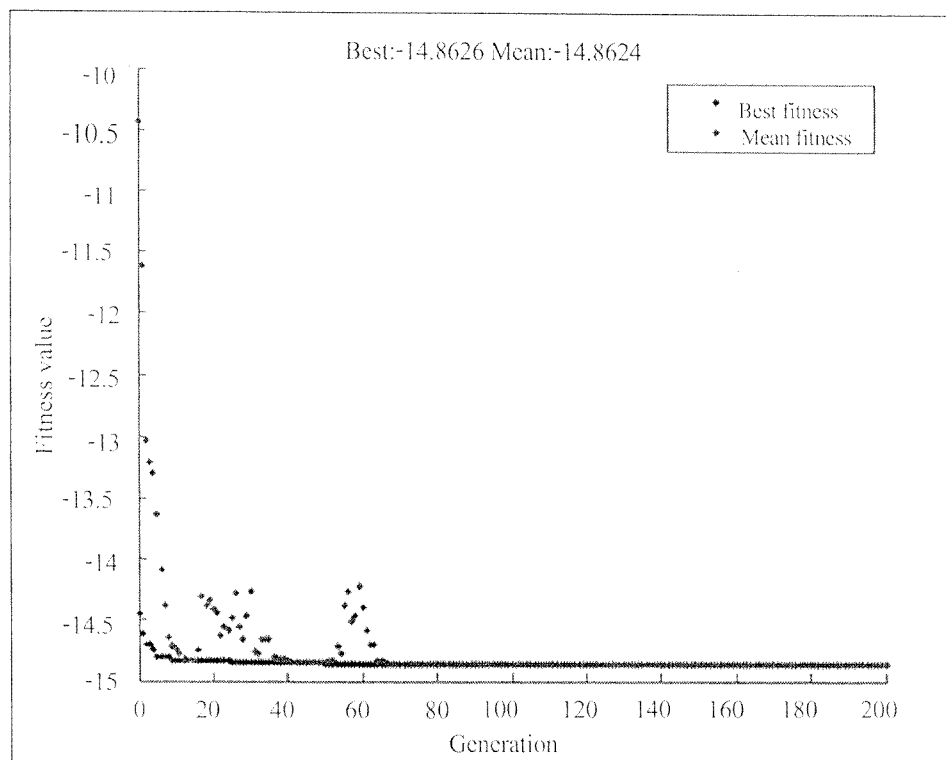
รูปที่ 4-4 ตัวอย่างการจัดวางสายอากาศไมโน่โพลบนโทรศัพท์เคลื่อนที่



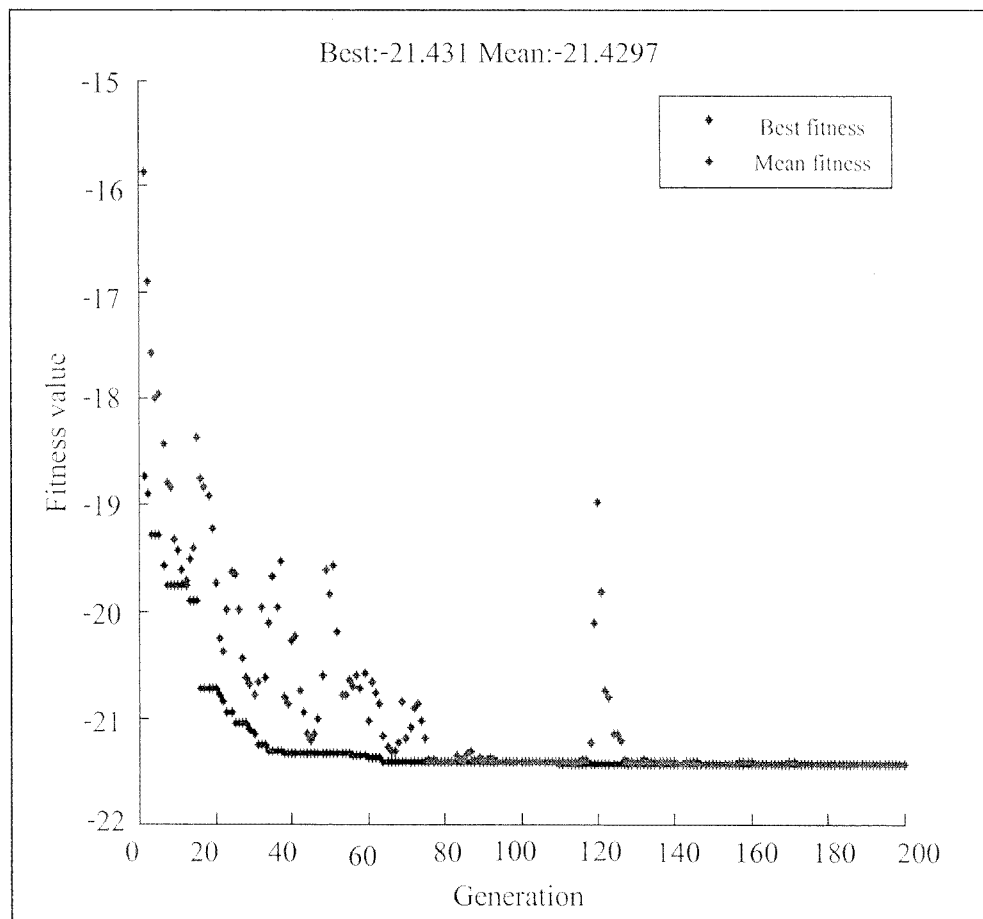
รูปที่ 4-5 ค่าการสูญเสียของกลับของสายอากาศ s11 ที่ 5.725-5.85 GHz

4.3 ผลจากการหาตำแหน่งการจัดวางสายอากาศด้วยเทคนิควิธีจีนเนติกอัลกอริทึมในช่องสัญญาณแบบมีความอิสระต่อ กันและมีการแยกแซงหนีอนกันโดยพิจารณาช่องสัญญาณการจ้างหายแบบเดย์ลี

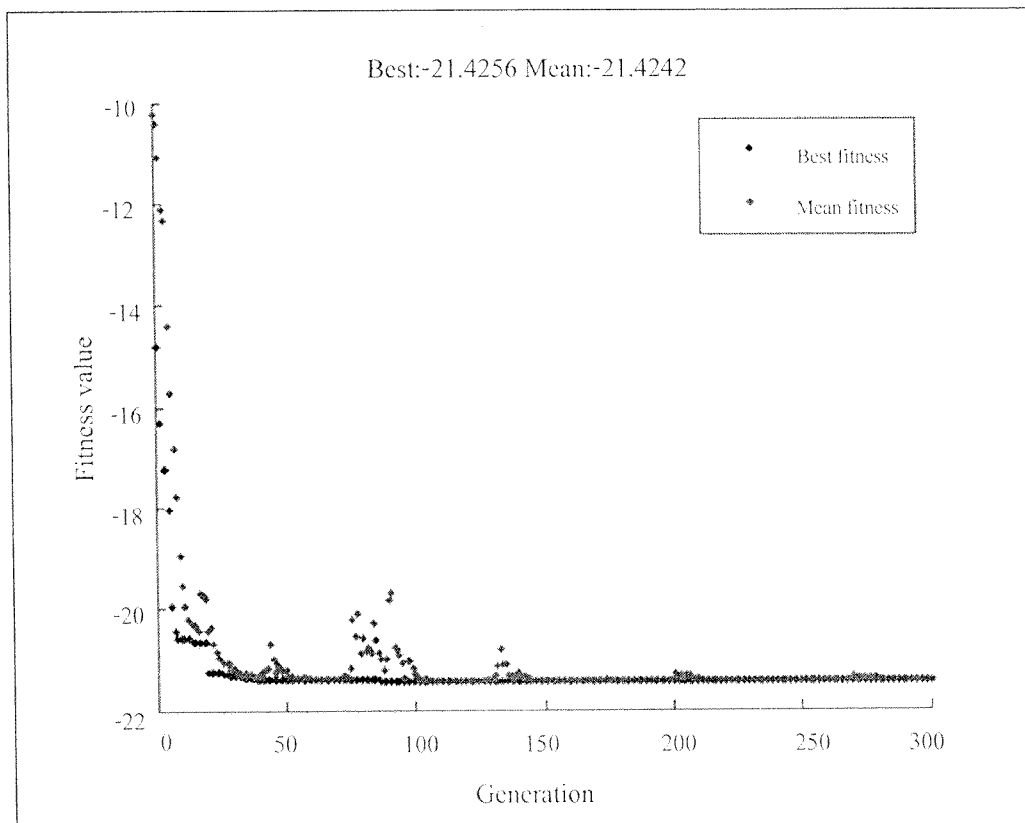
ผลจากการจำลองแบบในการหาระยะและตำแหน่งการจัดวางตัวของสายอากาศบนโทรศัพท์เคลื่อนที่โดยใช้ optimization toolbox ในโปรแกรม Matlab โดยหาตำแหน่งการจัดวางสายอากาศในช่องสัญญาณแบบมีความอิสระต่อ กันและมีการแยกแซงหนีอนกันโดยพิจารณาช่องสัญญาณการจ้างหายแบบเดย์ลีในระบบ ไม่ โบ 3x3 และ 4x4 ตั้งแสดงในรูปที่ 4-6 และ 4.7 จากรูปค่าของ Generation เปรียบเสมือนจำนวนรอบของการค้นหาคำตอบดังที่ได้กำหนดไว้ในตารางที่ 3-1 ค่า Best fitness เป็นค่าจุดของช่องสัญญาณ ที่ดีที่สุดในแต่ละรอบของการค้นหาคำตอบ ส่วนค่า Mean fitness เป็นค่าเฉลี่ย ความจุของช่องสัญญาณจากคำตอบทั้งหมดของการค้นหาในแต่ละรอบ เช่นกัน คำตอบที่ดีที่สุดของการค้นหาจะสั้นสุดที่ Generation ที่ได้กำหนดไว้ซึ่งค่า Best fitness และ Mean fitness จะไม่มีคำตอบที่สามารถปรับปรุงหรือเพิ่มประสิทธิภาพของระบบได้กว่านี้แล้วดังแสดงตัวอย่างในรูปที่ 4-6 สำหรับการหาตำแหน่งที่ดีที่สุดของสายอากาศจำนวน 3 ตัว จะเห็นได้จากช่วง Generation ตั้งแต่ 70 กราฟจะเป็นเส้นตรงไม่มีการปรับปรุง ประสิทธิภาพของค่าความจุของช่องสัญญาณ โดยค่าความจุของช่องสัญญาณ ที่ดีที่สุด หรือสำหรับค่า Best fitness อยู่ที่ 14.8626 dB เช่นเดียวกับค่าความจุของช่องสัญญาณเฉลี่ย หรือค่า Mean fitness เท่ากับ 14.8624 dB ซึ่งในส่วนนี้ก็จะได้คำตอบของตำแหน่งและระยะสำหรับการจัดวางสายอากาศที่ให้สมรรถนะของระบบมีประสิทธิภาพดีที่สุดในรูปที่ 4-7 สำหรับการหาตำแหน่งที่ดีที่สุดของสายอากาศ 4 ตัวนี้จะเห็นได้ว่าจะเห็นได้จากช่วง Generation ตั้งแต่ 130 กราฟจะเป็นเส้นตรงไม่มีการปรับปรุง ประสิทธิภาพของค่าความจุของช่องสัญญาณ แล้ว โดยค่าความจุของช่องสัญญาณ ที่ดีที่สุดหรือสำหรับค่า Best fitness อยู่ที่ 21.43 dB เช่นเดียวกับค่าความจุของช่องสัญญาณ เฉลี่ย หรือค่า Mean fitness เท่ากับ 21.4297 dB ซึ่งในส่วนนี้ก็จะได้คำตอบของตำแหน่งและระยะสำหรับการจัดวางสายอากาศที่ให้สมรรถนะของระบบมีประสิทธิภาพดีที่สุดซึ่งได้ทำการเปรียบเทียบจำนวน Generation และจำนวน Population เพิ่มขึ้นเป็นจำนวน 300 ซึ่งแสดงในรูปที่ 4-8 ผลที่ได้ไม่ทำให้ค่า Best fitness เพิ่มขึ้นแต่อย่างใดในทางกลับกันจะเสียเวลาในการหาคำตอบที่นานขึ้นมาก



รูปที่ 4-6 ผลของการหาค่าfitness ของการจัดวางสายอากาศ 3 ต้นที่ดีที่สุดด้วยวิธีจินแนดิกอัลกอริทึม บนเครื่องมือ optimization toolbox ในช่องสัญญาณแบบมีความอิสระต่อกัน และมีการแจกแจงเหมือนกัน โดยพิจารณาช่องสัญญาณการจ้างหายแบบเดียวกัน



รูปที่ 4-7 ผลของการหาคำแนะนำการจัดวางสายอากาศ 4 ต้นที่ดีที่สุดด้วยวิธีจินแนติกอัลกอริทึม
บนเครื่องมือ optimization toolbox ในช่องสัญญาณแบบมีความอิสระต่อ กัน
และมีการแจกแจงเหมือนกัน โดยพิจารณาช่องสัญญาณการจ้างหายแบบเดียวกัน

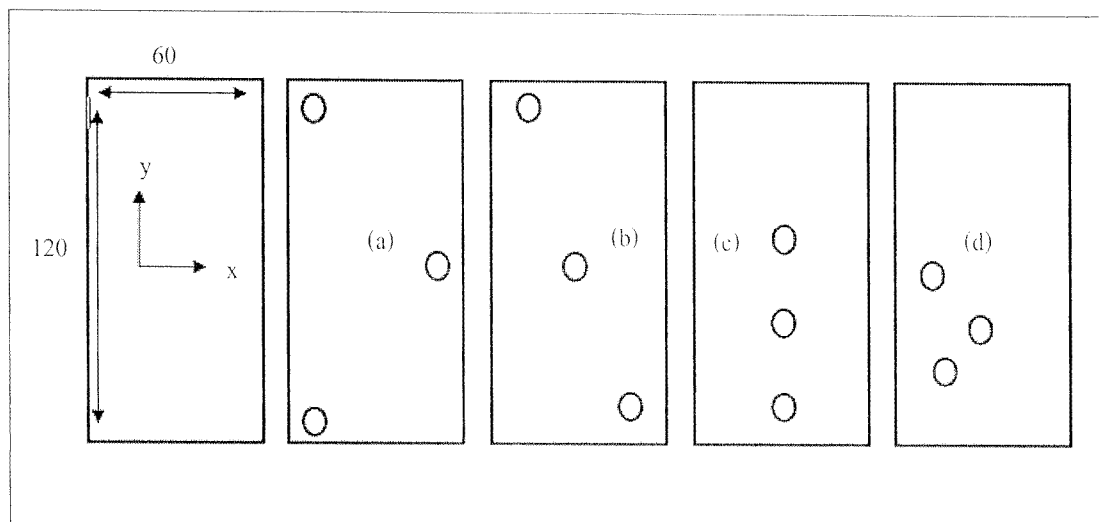


รูปที่ 4-8 ผลของการหาตัวแหน่งการจัดวางสายอากาศ 4 ตัวที่ดีที่สุดด้วยวิธีจั่นคิกอัลกอริทึมบนเครื่องมือ optimization toolbox ในช่องสัญญาณแบบมีความอิสระต่อ กัน และมีการแยกแข่งเหมือนกัน โดยพิจารณาช่องสัญญาณการจ้างหายແນບ เล็กๆในการเบร์ยนเทียบการเพิ่ม generation และ population

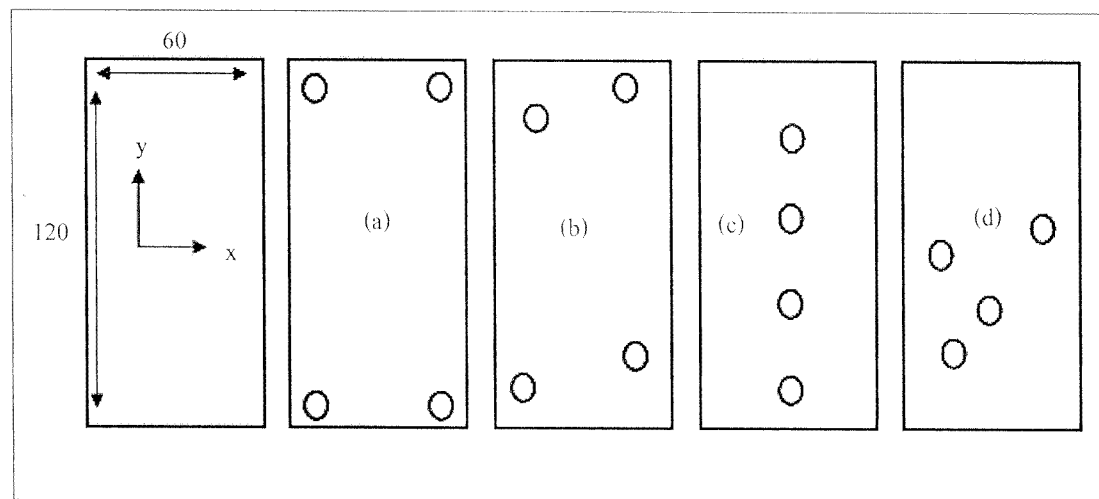
ตารางที่ 4-1 แสดงการจัดวางด้วยของสายอากาศโดยพิจารณาช่องสัญญาณแบบมีความอิสระต่อ กัน และมีการแยกแข่งเหมือนกัน ในระบบไม่โม 3x3 และ 4x4

ผลตัวแหน่ง	ตำแหน่งการจัดวางสายอากาศบนพิกัด x y (มิลลิเมตร)			
	1	2	3	4
MIMO 3x3	(56,8)	(19,59)	(3,117)	N/A
MIMO 4x4	(4,7)	(48.25,15)	(13,97.75)	(45.5,118.5)

เพื่อเป็นการเปรียบเทียบสมรรถนะการจัดวางสายอากาศจากการหาตำแหน่งการจัดวางบนพื้นที่โทรศัพท์เคลื่อนที่ด้วยเทคนิคการหาคำตอบที่ดีที่สุดจากวิธีจินแนกิกอัลกอริทึม จึงได้ทำการสุ่มการจัดวางดาวของสายอากาศของระบบ 3x3 และ 4x4 ขึ้นมาในการเปรียบเทียบสมรรถนะว่ามีประสิทธิภาพที่เหนือกว่าจริง โดยการสุ่มการจัดวางสายอากาศของแต่ละจำนวนของสายอากาศที่จะนำมาเปรียบเทียบมีรายละเอียดดังนี้

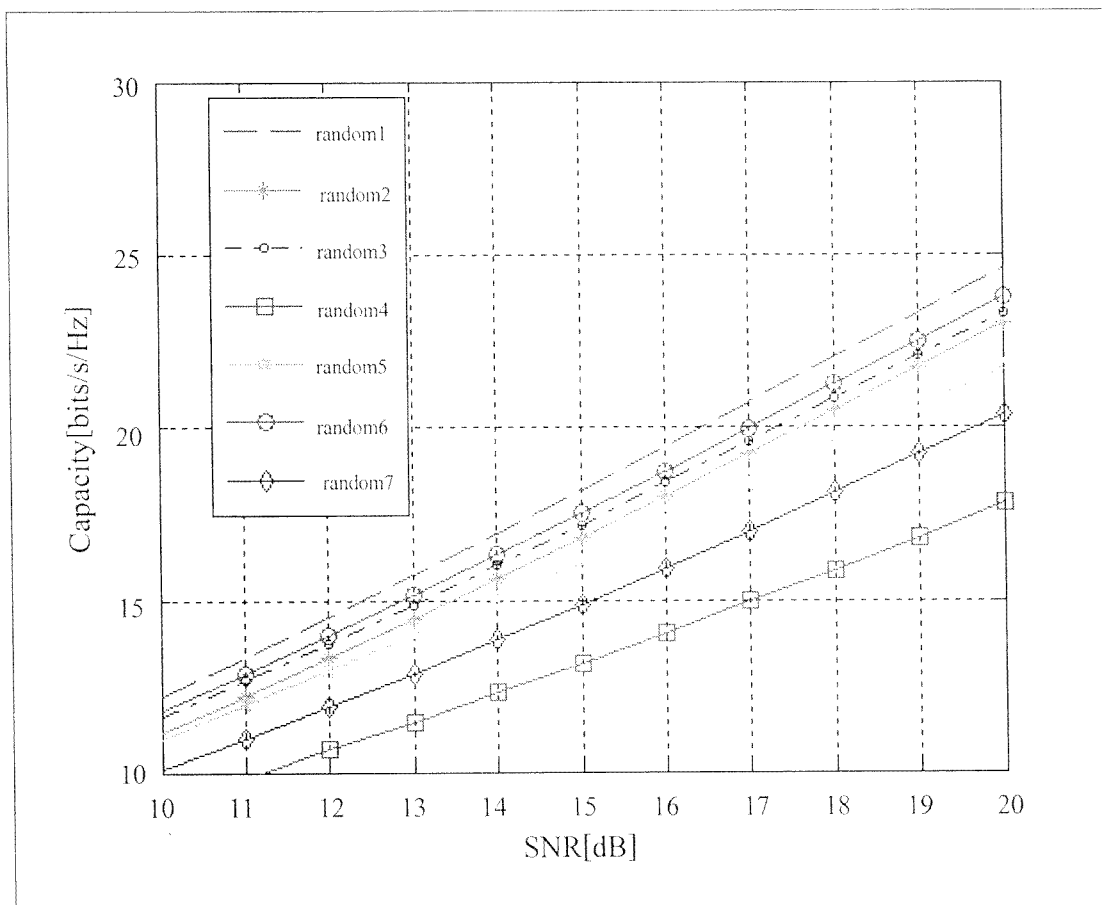


รูปที่ 4-9 การจัดวางสายอากาศ 3 ตัวในแต่ละกรณีบนพื้นที่โทรศัพท์เคลื่อนที่



รูปที่ 4-10 การจัดวางสายอากาศ 4 ตัวในแต่ละกรณีบนพื้นที่โทรศัพท์เคลื่อนที่

จากรูปที่ 4-9 และ 4-10 แสดงการจัดวางสายอากาศ 3 ด้านในแต่ละกรีบันพื้นที่โทรศัพท์เคลื่อนที่โดยในกรณี (a) แสดงการจัดวางสายอากาศไว้ที่มุมของพื้นที่กรีบ (b) แสดงการจัดวางสายอากาศในตำแหน่งที่ได้ผลมาจากการทดสอบทางค่าตอบที่ดีที่สุดจากวิธีจินแนติกอัลกอริทึมกรณี (c) แสดงการจัดวางสายอากาศแบบเส้นตรงซึ่งมีระยะห่างแผลมด้า /2 กรณี (d) แสดงการจัดวางสายอากาศในรูปแบบสี่เหลี่ยม โดยในกรณี (d) ได้ทำการสุ่มหั้งหมุด 7 ครั้ง ซึ่งแสดงในรูปที่ 4-11 โดยเลือกครั้งที่ดีที่สุดมาเปรียบเทียบซึ่งสามารถทำการวิเคราะห์ผ่านโปรแกรมแมทแลปโดยพิจารณาค่าความจุของสัญญาณ



รูปที่ 4-11 ความจุของสัญญาณเทียบกับอัตราส่วนสัญญาณต่อสัญญาณรบกวนในกรณีไม่ 4x4 ในกรณีสุ่มเปรียบเทียบ

ตารางที่ 4-2 แสดงตำแหน่งของการจัดวางสายอากาศในระบบไม่โอม 3x3

MIMO	ตำแหน่งการจัดวางสายอากาศบนพิกัด $x - y$ (มิลลิเมตร)		
	Antenna (1)	Antenna (2)	Antenna (3)
3x3 Case			
(a) corner	5,5	55,60	5,115
(b) GA	56,8	19,59	3,117
(c) linear	30,5	30,31.2	30,57.4
(d) random	17,35	34,48	15,62

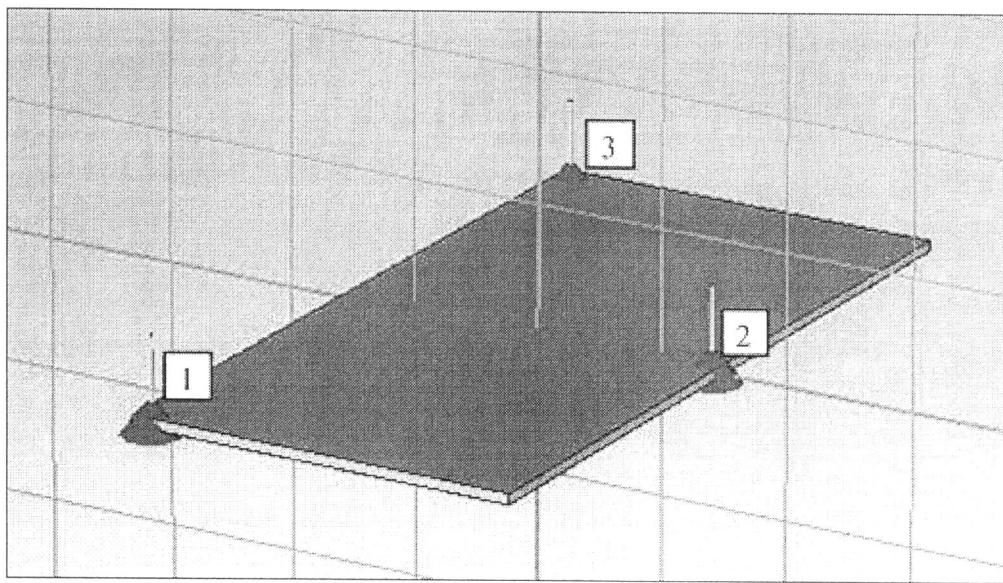
ตารางที่ 4-3 แสดงตำแหน่งของการจัดวางสายอากาศในระบบไม่โอม 4x4

MIMO	ตำแหน่งการจัดวางสายอากาศบนพิกัด $x - y$ (มิลลิเมตร)			
	Antenna (1)	Antenna (2)	Antenna (3)	Antenna (4)
4x4 Case				
(a) corner	5,5	55,5	5,115	55,115
(b) GA	4,7	48.25,15	13,97.75	45.5,118.5
(c) linear	30,5	30,31.2	30,57.4	30,83.6
(d) random	17,35	34,48	15,62	50,76

4.4 ผลการจำลองการหาตำแหน่งโดยใช้โปรแกรม CST MICROWAVE STUDIO เพื่อวิเคราะห์เปรียบเทียบ

หาค่าความจุของช่องสัญญาณ

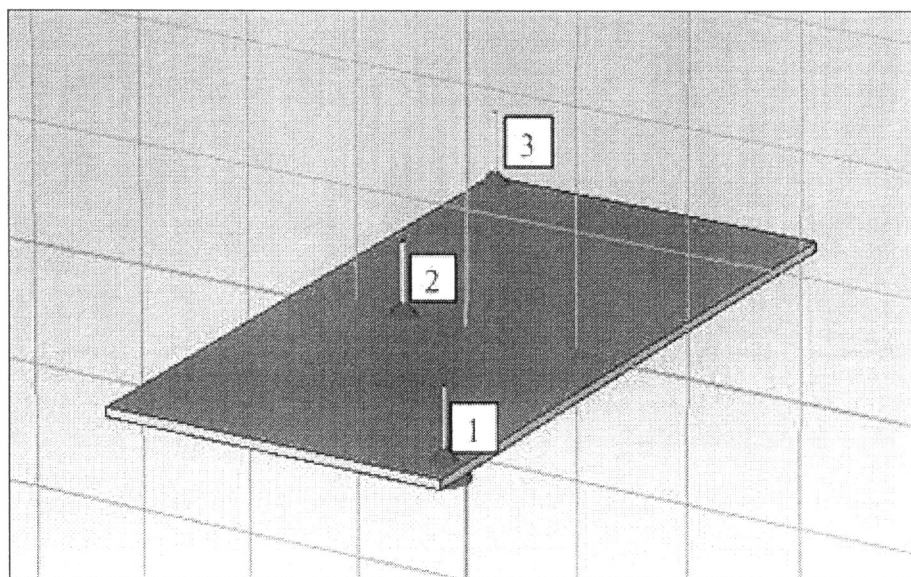
เนื่องจากหัวข้อที่ 4.2 ได้ค่าตำแหน่งที่เหมาะสมที่สุดของการจัดวางสายอากาศโดยที่ต้องที่จากโปรแกรมวิธีจินเนติกอัลกอริทึมแล้ว ได้ทำการเปรียบเทียบในกรณีอื่น ๆ ในส่วนนี้จะทำการจำลองผลของตำแหน่งของการจัดวางสายอากาศในแต่ละกรณีโดยใช้โปรแกรม CST microwave studio เพื่อพิจารณาและเปรียบเทียบว่าผลตำแหน่งที่ได้จากการเมียนวิธีจินเนติกอัลกอริทึมจะเป็นผลตำแหน่งที่ดีที่สุดหรือไม่



รูปที่ 4-12 การจำลองผลตำแหน่งการจัดวางสายอากาศ 3 ต้นในกรณี (a)

ตารางที่ 4-4 แสดงค่า z อิมพีเดนซ์ของสายอากาศ 3 ต้นในกรณี (a)

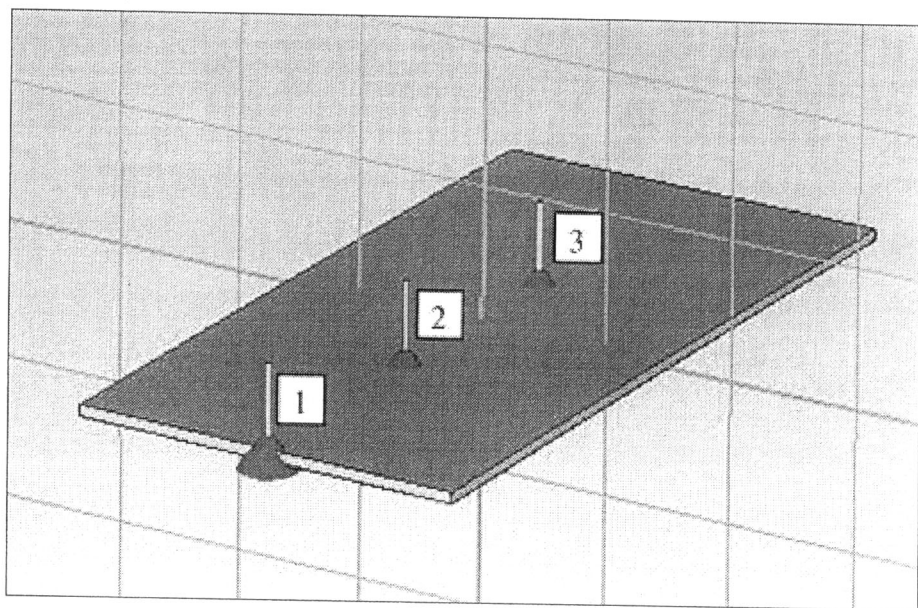
ค่า z อิมพีเดนซ์ของสายอากาศ		
$82.9106 + 19.1599i$	$60.7859 + 9.0942i$	$62.859 - 9.0942i$
$61.4237 + 8.4030i$	$87.3967 - 10.3660i$	$61.3426 - 16.2045i$
$61.4237 + 8.4030i$	$61.3426 - 16.2045i$	$86.4104 - 12.7832i$



ตารางที่ 4-5 การจำลองผลตำแหน่งการจัดวางสายอากาศ 3 ต้นในกรณี (b)

ตารางที่ 4-5 แสดงค่า z อิมพีเคนซ์ของสายอากาศ 3 ต้นในกรณี (b)

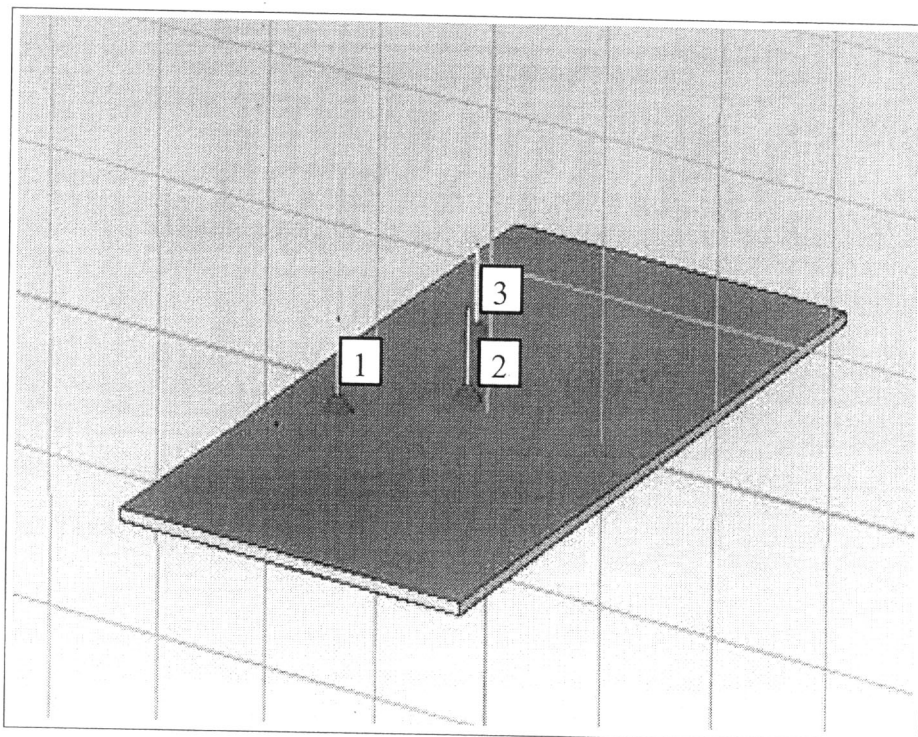
ค่า z อิมพีเคนซ์ของสายอากาศ		
$67.1701 + 7.9998i$	$24.7015 - 16.6921i$	$36.3233 - 3.2461i$
$24.7015 - 16.6921i$	$79.3011 + 32.9975i$	$21.1141 - 1.0218i$
$36.3233 - 3.2461i$ $e^{j\pi}$	$21.1141 - 1.0218i$	$44.6995 + 2.5203i$



รูปที่ 4-13 การจำลองผลตำแหน่งการจัดวางสายอาคส 3 ต้นในกรณี (c)

ตารางที่ 4-6แสดงค่า z อิมพีเดนซ์ของสายอาคส 3 ต้นในกรณี (c)

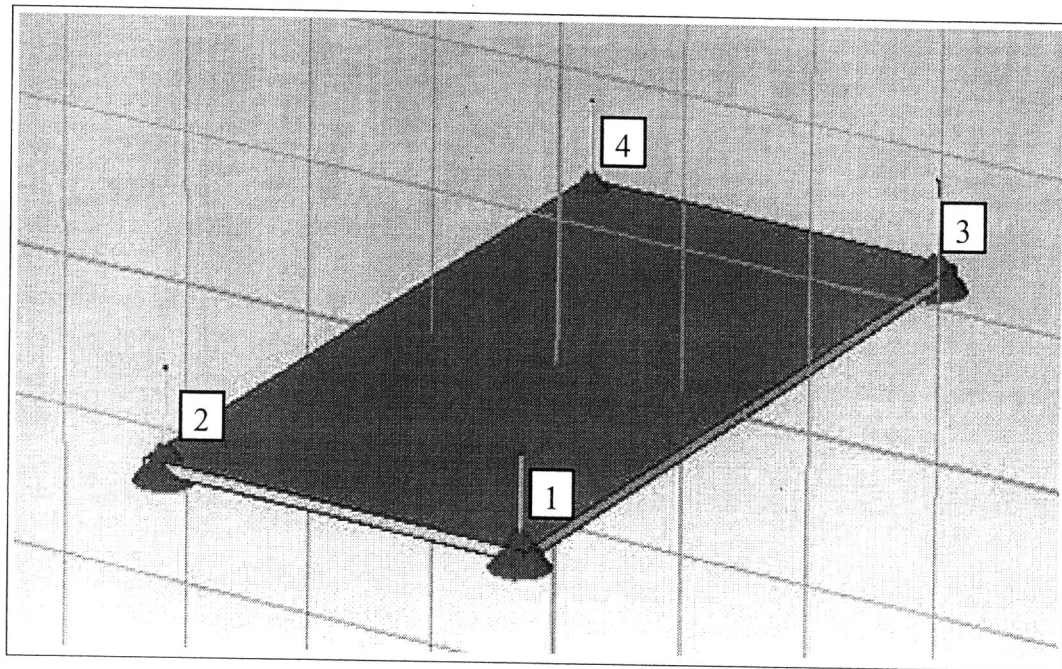
ค่า z อิมพีเดนซ์ของสายอาคส		
$35.7580 + 6.7937i$	$39.1246 + 4.1474i$	$49.6078 - 5.3033i$
$39.1246 + 4.1474i$	$34.1137 + 6.1019i$	$32.5709 + 1.9579i$
$49.6078 - 5.3033i$	$32.5709 + 1.9579i$	$33.9153 - 20.2793i$



รูปที่ 4-14 การจำลองผลตำแหน่งการจัดวางสายอากาศ 3 ต้นในกรณี (d)

ตารางที่ 4-7 แสดงค่า z อิมพีเดนซ์ของสายอากาศ 3 ต้นในกรณี (d)

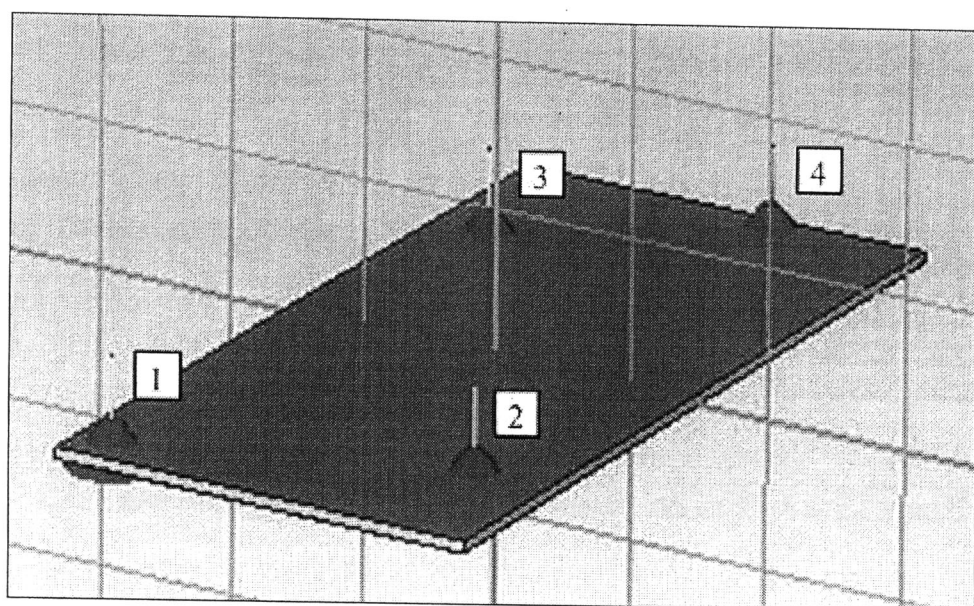
ค่า z อิมพีเดนซ์ของสายอากาศ		
$35.7580 + 6.7937i$	$39.1246 + 4.1474i$	$49.6078 - 5.3033i$
$39.1246 + 4.1474i$	$34.1137 + 6.1019i$	$32.5709 + 1.9579i$
$49.6078 - 5.3033i$	$32.5709 + 1.9579i$	$33.9153 - 20.2793i$



รูปที่ 4-15 การจำลองผลตำแหน่งการจัดวางสายอากาศ 4 ต้นในกรณี (a)

ตารางที่ 4-8 แสดงค่า z อิมพีเดนซ์ของสายอากาศ 4 ต้นในกรณี (a)

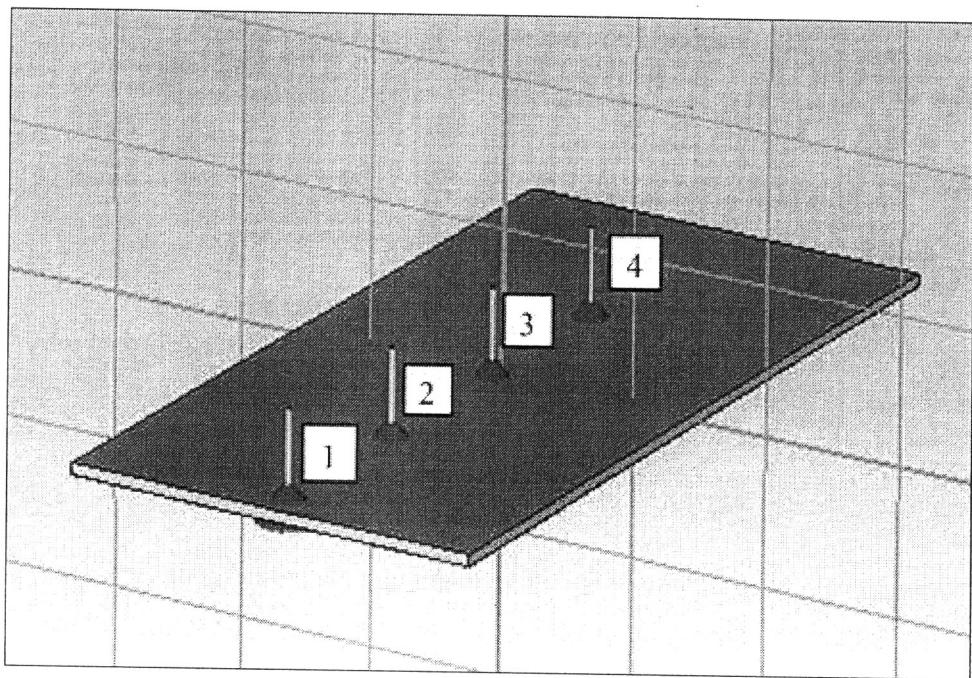
ค่า z อิมพีเดนซ์ของสายอากาศ			
$32.315 - 7.051i$	$49.277 - 1.027i$	$48.815 + 0.163i$	$50.976 + 1.177i$
$49.277 - 1.027i$	$35.860 - 62.375i$	$50.532 + 0.836i$	$49.070 - 0.006i$
$48.815 + 0.163i$	$50.532 + 0.836i$	$33.204 - 39.147i$	$48.596 - 1.080i$
$50.976 + 1.177i$	$49.079 - 0.006i$	$48.596 - 1.080i$	$31.056 - 16.724i$



รูปที่ 4-16 การจำลองผลตำแหน่งการจัดวางสายอากาศ 4 ต้นในกรณี (b)

ตารางที่ 4-9 แสดงค่า z อิมพีเดนซ์ของสายอากาศ 4 ต้นในกรณี (b)

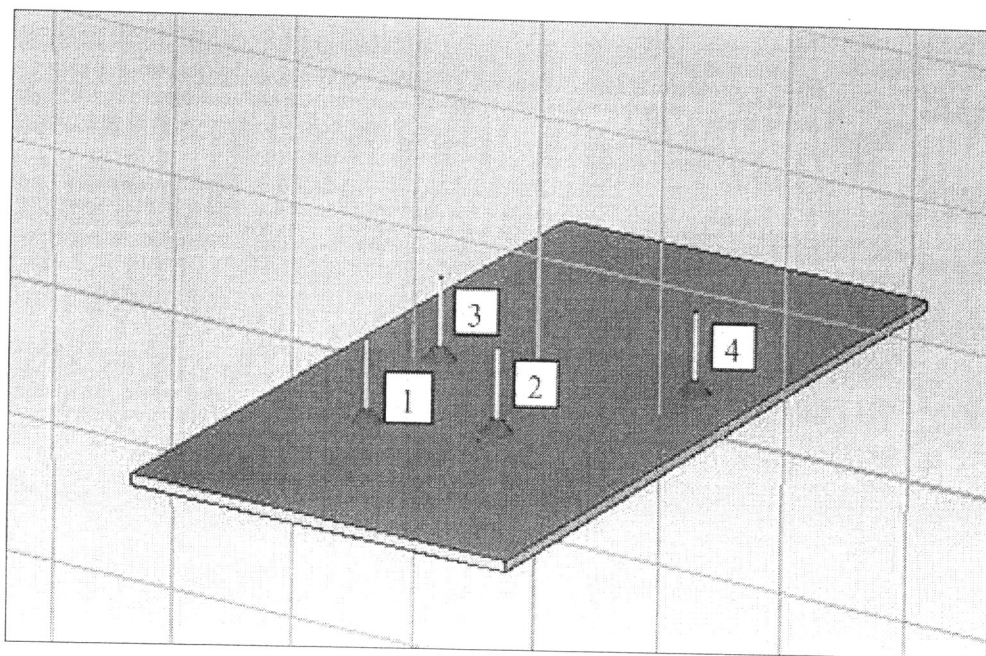
ค่า z อิมพีเดนซ์ของสายอากาศ			
28.718 -12.426i	49.675 + 0.278i	50.379 - 0.469i	49.632 - 0.173i
49.675 + 0.278i	35.627 - 7.659i	50.957 + 1.077i	51.131 - 0.385i
50.379 - 0.469i	50.957 + 1.077i	27.971 - 6.877i	49.078 - 2.259i
49.632 - 0.173i	55.357 - 4.001i	49.078 - 2.259i	30.138 - 8.137i



รูปที่ 4-17 การจำลองผลตำแหน่งการจัดวางสายอากาศ 4 ต้นในกรณี (c)

ตารางที่ 4-10 แสดงค่า z อิมพีเดนซ์ของสายอากาศ 4 ต้นในกรณี (c)

ค่า z อิมพีเดนซ์ของสายอากาศ			
$47.274 + 7.243i$	$52.639 - 1.831i$	$49.669 - 0.681i$	$48.719 + 0.019i$
$52.639 - 1.831i$	$80.427 - 1.941i$	$53.068 - 2.170i$	$48.862 + 0.543i$
$50.646 - 0.423i$	$53.068 - 2.170i$	$71.0518 - 37.868i$	$50.964 - 1.833i$
$47.274 + 7.243i$	$52.639 - 1.831i$	$49.669 - 0.681i$	$48.719 + 0.019i$



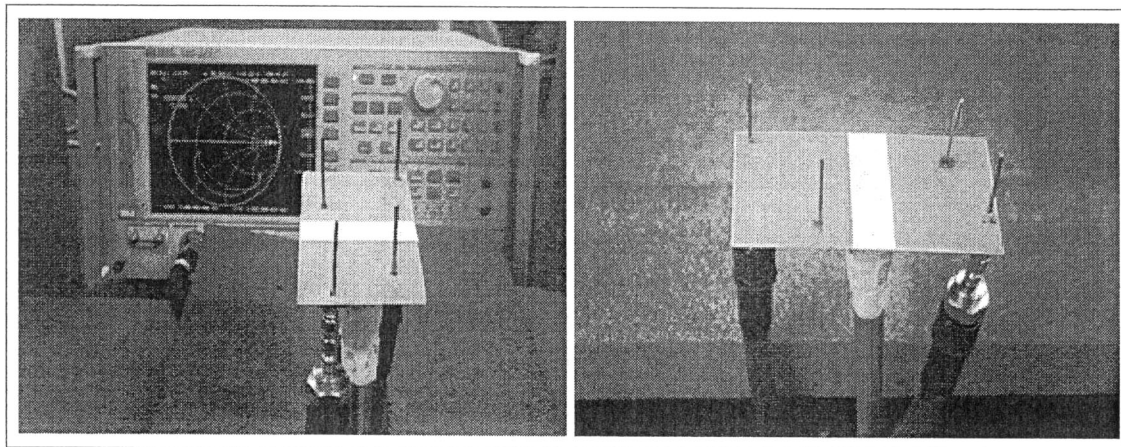
รูปที่ 4-18 การจำลองผลคำแนะนำการจัดวางสายอากาศ 4 ต้นในกรณี (d)

ตารางที่ 4-11 แสดงค่า Z อิมพีเดนซ์ของสายอากาศ 4 ต้นในกรณี (d)

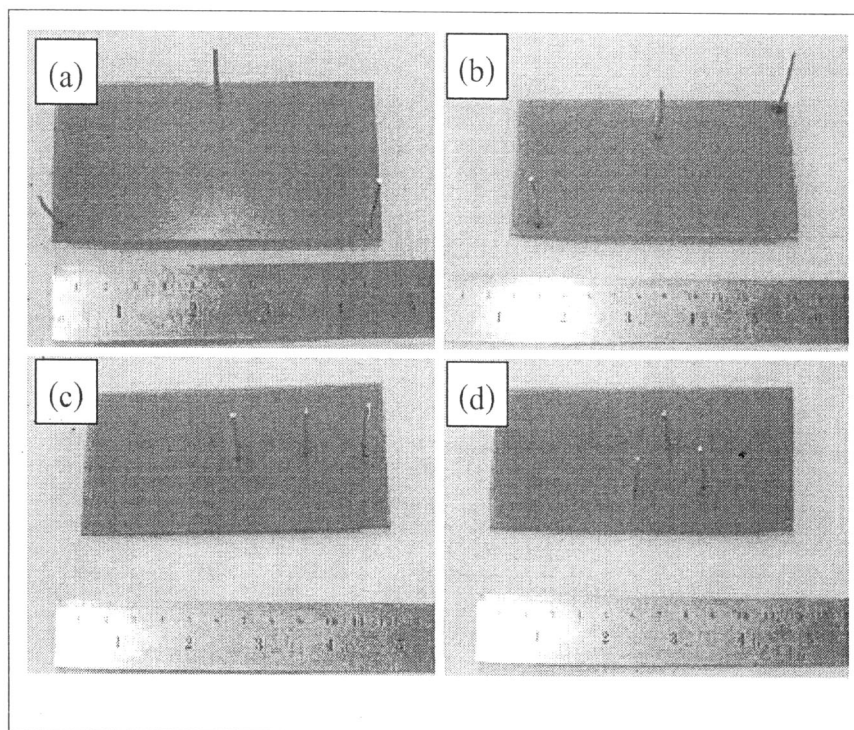
ค่า Z อิมพีเดนซ์ของสายอากาศ			
37.533 -14.186i	62.268 - 2.181i	55.434 - 4.269i	48.447 - 0.675i
62.268 - 2.181i	77.724 -21.634i	50.566 + 0.329i	51.925 - 4.045i
55.434 - 4.269i	50.566 + 0.329i	90.910 + 6.197i	53.481+ 0.758i
48.447 - 0.675i	51.925 - 4.045i	53.481 + 0.758i	37.322 -24.040i

4.5 การทดสอบระบบไมโครเวฟในสถานการณ์จริง

จากหัวข้อที่ 4.3 ได้แสดงการจำลองผลด้วยโปรแกรม CST microwave studio เพื่อเปรียบเทียบผลความจุของช่องสัญญาณในหัวข้อนี้ ได้เสนอการวัดผลจริงโดยผ่านเครื่องวิเคราะห์วงจรปั๊ก (Network Analyzer) เพื่อวัดผลค่า Z อิมพีเดนซ์ เพื่อนำมาเปรียบเทียบหาค่าความจุของช่องสัญญาณในระบบไมโครเวฟต่อไป

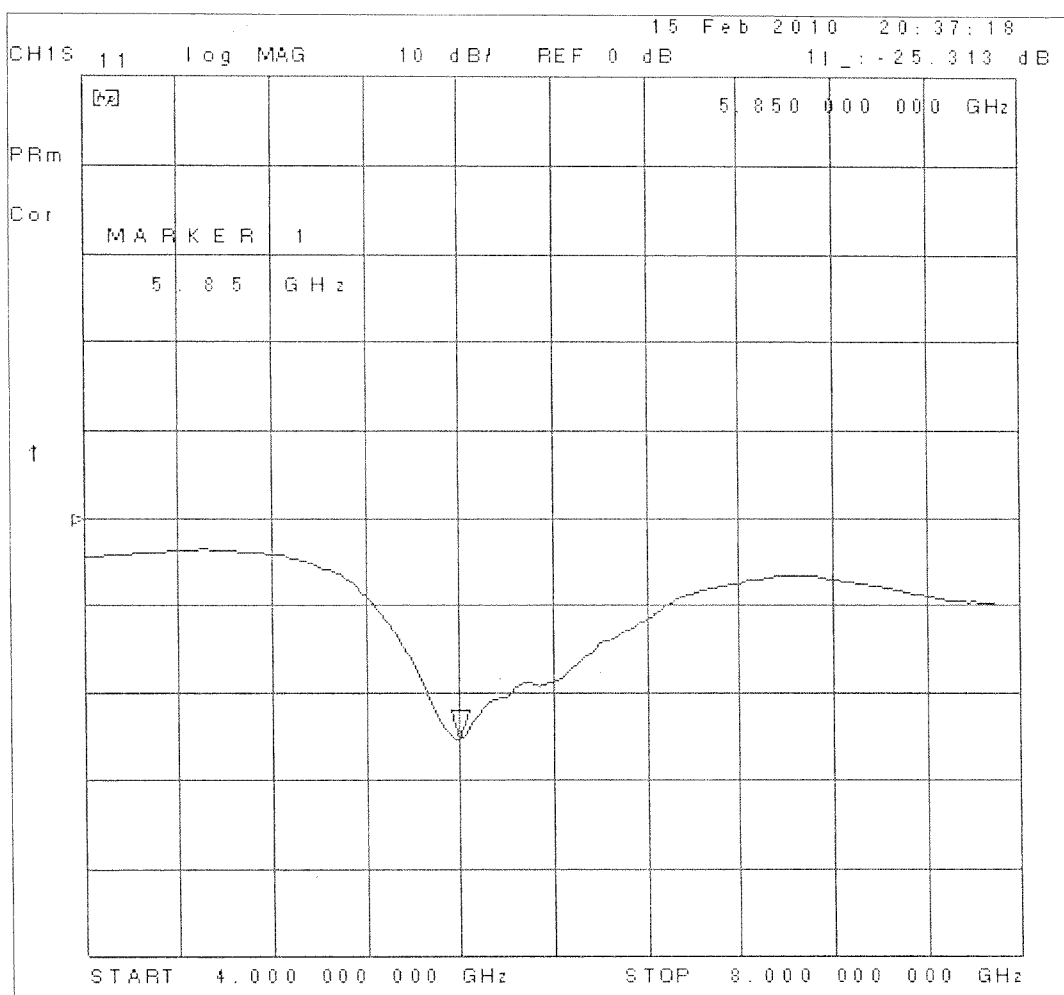


รูปที่ 4-19 การวัดผลค่า Z อิมพีเดนซ์ของสายอากาศผ่านเครื่องวิเคราะห์วงจรข่าย

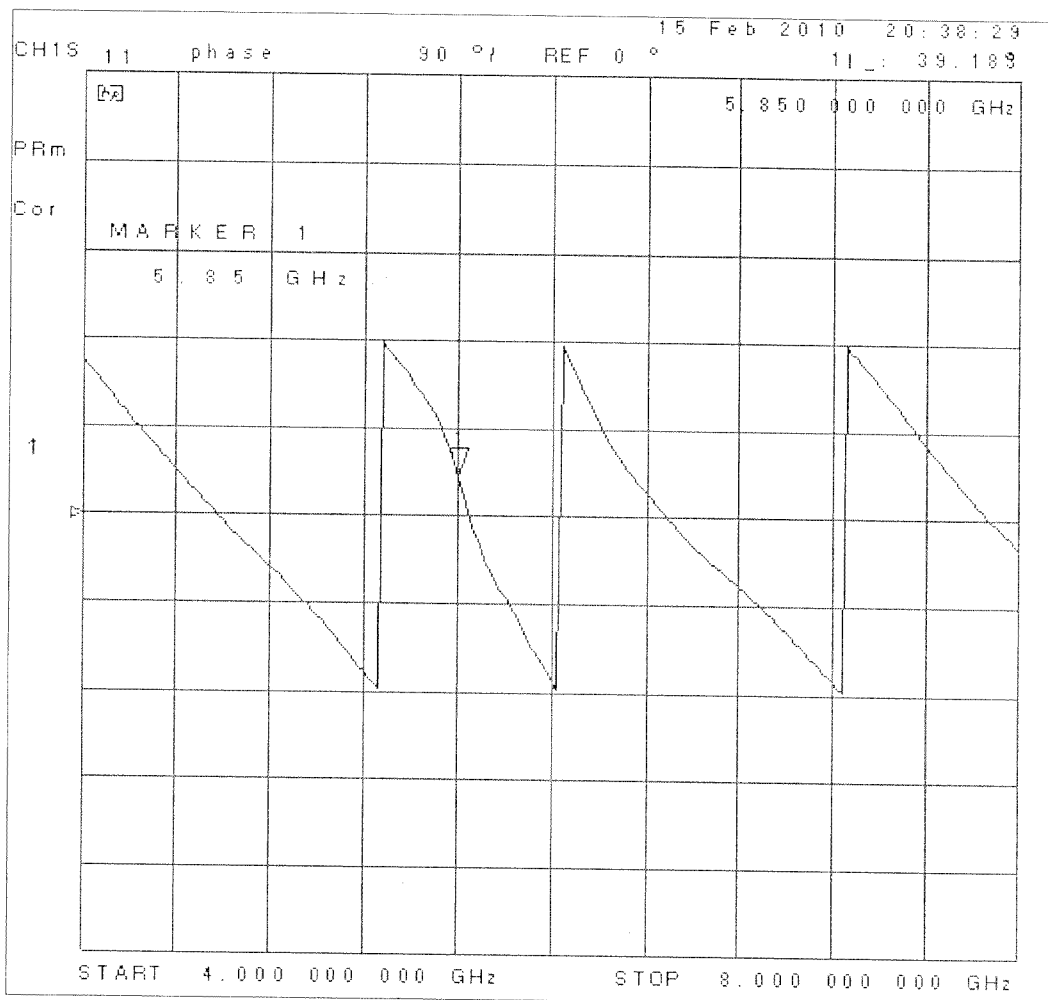


รูปที่ 4-20 การจัดวางสายอากาศ 3 ตื้นในแต่ละกรอบ

ตัวอย่างผลวัดค่าโดยค่า Z อิมพีเดนซ์ของสายอากาศทั้งขนาดและเฟสสูญเสียจากเครื่องวิเคราะห์วงจรข่าย (S_{ii}, S_{jj}) โดยแต่ละอิมพีเดนซ์จะวัดทั้งหมด 5 ครั้ง โดยกำหนดให้ ($S_{ii} = S_{ji}$) เป็นไปตามทฤษฎีอนกลับ (Reciprocity theorem)



รูปที่ 4-21 ค่าการสูญเสียอนกลับของสายอากาศ s11 ที่ 5.85 GHz



รูปที่ 4-22 ผลวัดค่าไฟส่องสายอากาศ s11 ที่ 5.85 GHz

ตารางที่ 4-12 แสดงค่า z อิมพีเดนซ์ของสายอากาศ 3 ต้นในกรณี (a)

ค่า z อิมพีเดนซ์ของสายอากาศ		
44.4545 - 5.9706i	55.6711 + 5.8918i	45.5511 - 2.2106i
55.6711 + 5.8918i	39.1023 + 3.9536i	36.7929 - 4.2588i
45.5511 - 2.2106i	36.7929 - 4.2588i	41.1227 - 0.3986i

ตารางที่ 4-13 แสดงค่า z อิมพีเดนซ์ของสายอากาศ 3 ต้นในกรอบ (b)

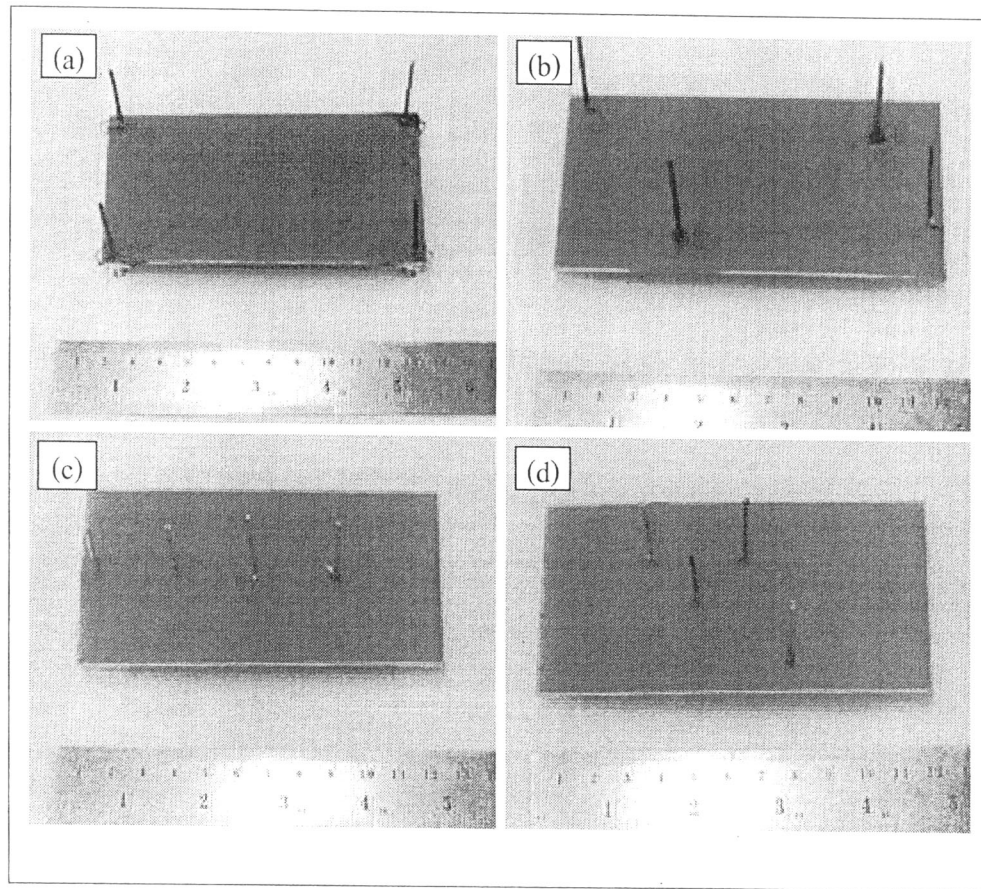
ค่า z อิมพีเดนซ์ของสายอากาศ		
$45.2170 + 1.9319i$	$46.2529 - 6.4398i$	$49.6559 + 3.3805i$
$46.2529 - 6.4398i$	$48.7856 + 5.1962i$	$58.2485 - 0.0352$
$49.6559 + 3.3805i$	$58.2485 - 0.0352$	$43.8575 + 2.6449i$

ตารางที่ 4-14 แสดงค่า z อิมพีเดนซ์ของสายอากาศ 3 ต้นในกรอบ (c)

ค่า z อิมพีเดนซ์ของสายอากาศ		
$43.5483 + 9.8344i$	$57.3383 + 34.6093i$	$43.9455 - 0.6267i$
$57.3383 + 34.6093i$	$32.7836 - 3.5909i$	$39.0168 - 15.5302i$
$43.9455 - 0.6267i$	$39.0168 - 15.5302i$	$40.5706 + 12.5839i$

ตารางที่ 4-15 แสดงค่า z อิมพีเดนซ์ของสายอากาศ 3 ต้นในกรอบ (d)

ค่า z อิมพีเดนซ์ของสายอากาศ		
$66.2659 - 2.1630i$	$44.8552 - 17.8197i$	$52.7667 - 2.5044i$
$44.8552 - 17.8197i$	$62.3751 - 7.3388i$	$68.6169 - 38.8172i$
$44.8552 - 17.8197i$	$52.7667 - 2.5044i$	$54.7666 + 1.0867i$



รูปที่ 4-23 การขัดวงสายอากาศ 4 ต้นในแต่ละกรณี

ตารางที่ 4-16 แสดงค่า z อิมพีเดนซ์ของสายอากาศ 4 ต้นในกรณี (a)

ค่า z อิมพีเดนซ์ของสายอากาศ			
35.322 -22.040i	62.268 - 2.181i	55.434 - 4.269i	48.447 - 0.675i
62.268 - 2.181i	37.724 -21.634i	50.566 + 0.329i	51.925 - 4.045i
55.434 - 4.269i	50.566 + 0.329i	38.533 -14.186i	53.481 + 0.758i
48.447 - 0.675i	51.925 - 4.045i	53.481 + 0.758i	37.322 -24.040i

ตารางที่ 4-17 แสดงค่า z อิมพีเดนซ์ของสายอากาศ 4 ตื้นในกรณี (b)

ค่า z อิมพีเดนซ์ของสายอากาศ			
$40.274 + 7.243i$	$52.639 - 1.831i$	$49.669 - 0.681i$	$48.719 + 0.019i$
$52.639 - 1.831i$	$42.427 - 1.941i$	$53.068 - 2.170i$	$48.862 + 0.543i$
$49.669 - 0.681i$	$53.068 - 2.170i$	$41.051 - 37.868i$	$50.964 - 1.833i$
$48.719 + 0.019i$	$48.862 + 0.543i$	$50.964 - 1.833i$	$43.465 - 31.376i$

ตารางที่ 4-18 แสดงค่า z อิมพีเดนซ์ของสายอากาศ 4 ตื้นในกรณี (c)

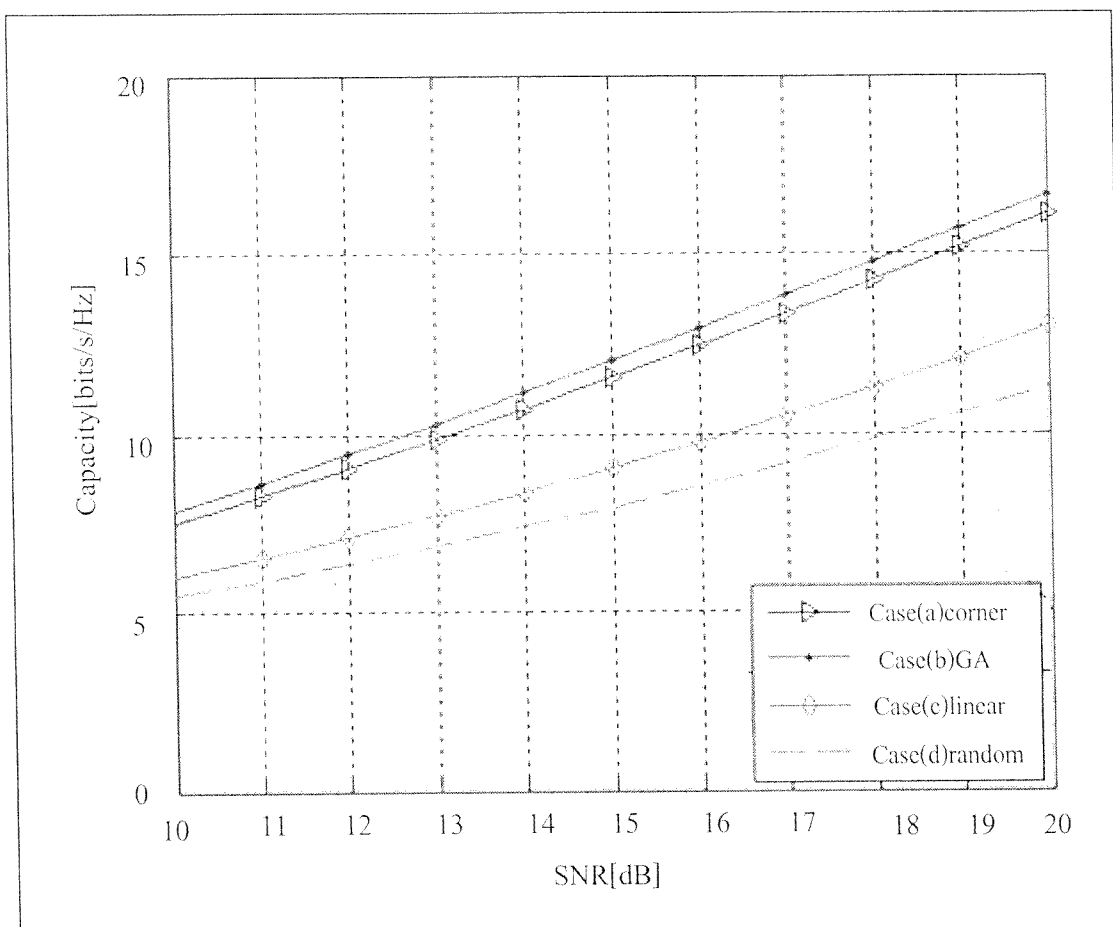
ค่า z อิมพีเดนซ์ของสายอากาศ			
$30.718 - 12.426i$	$49.675 + 0.278i$	$50.379 - 0.469i$	$49.632 - 0.173i$
$49.675 + 0.278i$	$35.627 - 7.659i$	$50.957 + 1.077i$	$51.131 - 0.385i$
$50.379 - 0.469i$	$50.957 + 1.077i$	$27.971 - 6.877i$	$49.078 - 2.259i$
$49.632 - 0.173i$	$51.131 - 0.385i$	$49.078 - 2.259i$	$30.138 - 8.137i$

ตารางที่ 4-19 แสดงค่า z อิมพีเดนซ์ของสายอากาศ 4 ตื้นในกรณี (d)

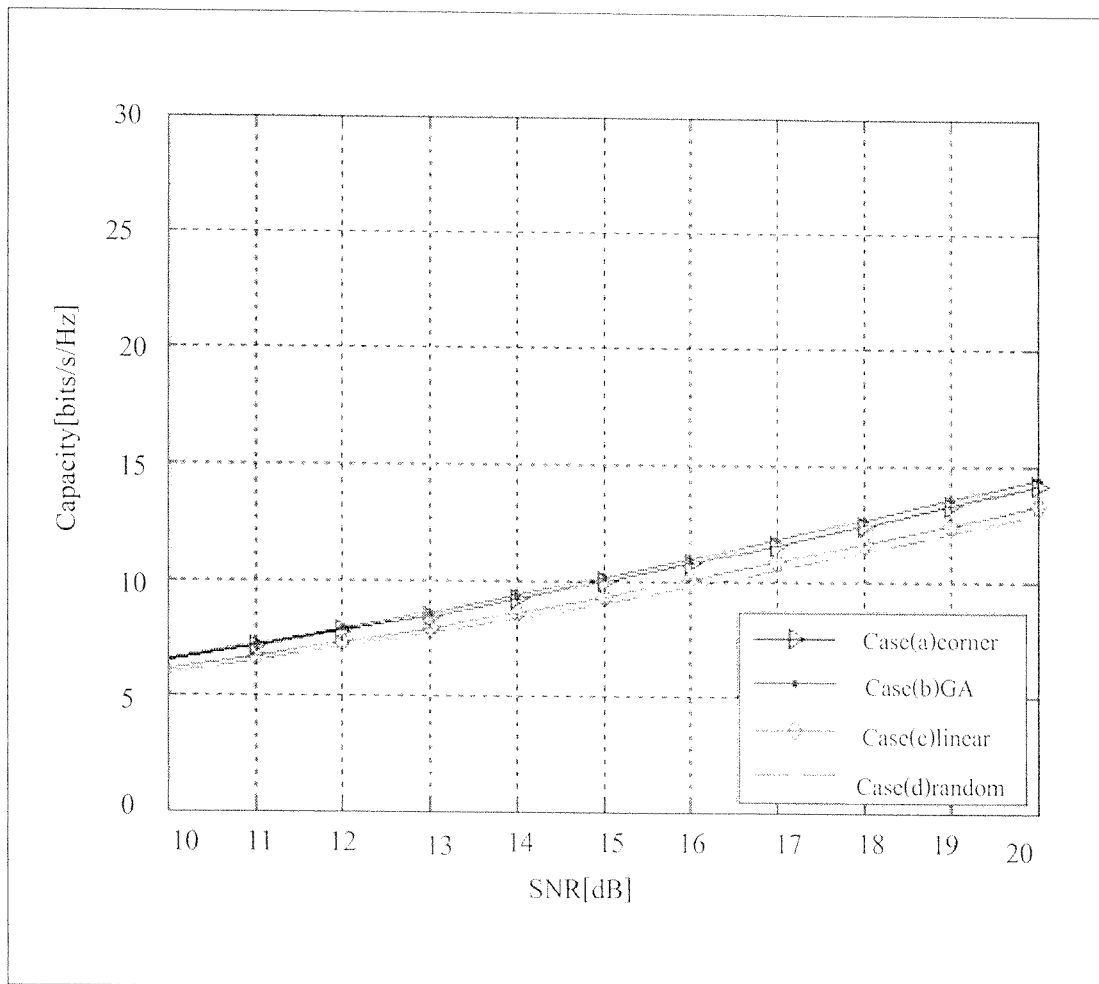
ค่า z อิมพีเดนซ์ของสายอากาศ			
$62.350 - 14.028i$	$51.925 - 9.527i$	$45.059 - 4.120i$	$49.856 + 3.626i$
$51.925 - 9.527i$	$42.760 - 5.224i$	$49.856 + 3.626i$	$45.059 - 4.120i$
$45.059 - 4.120i$	$49.856 + 3.626i$	$68.557 - 9.958i$	$51.925 - 9.527i$
$49.856 + 3.626i$	$45.059 - 4.120i$	$51.925 - 9.527i$	$70.192 - 9.163i$

4.6 การหาความจุของสัญญาณ

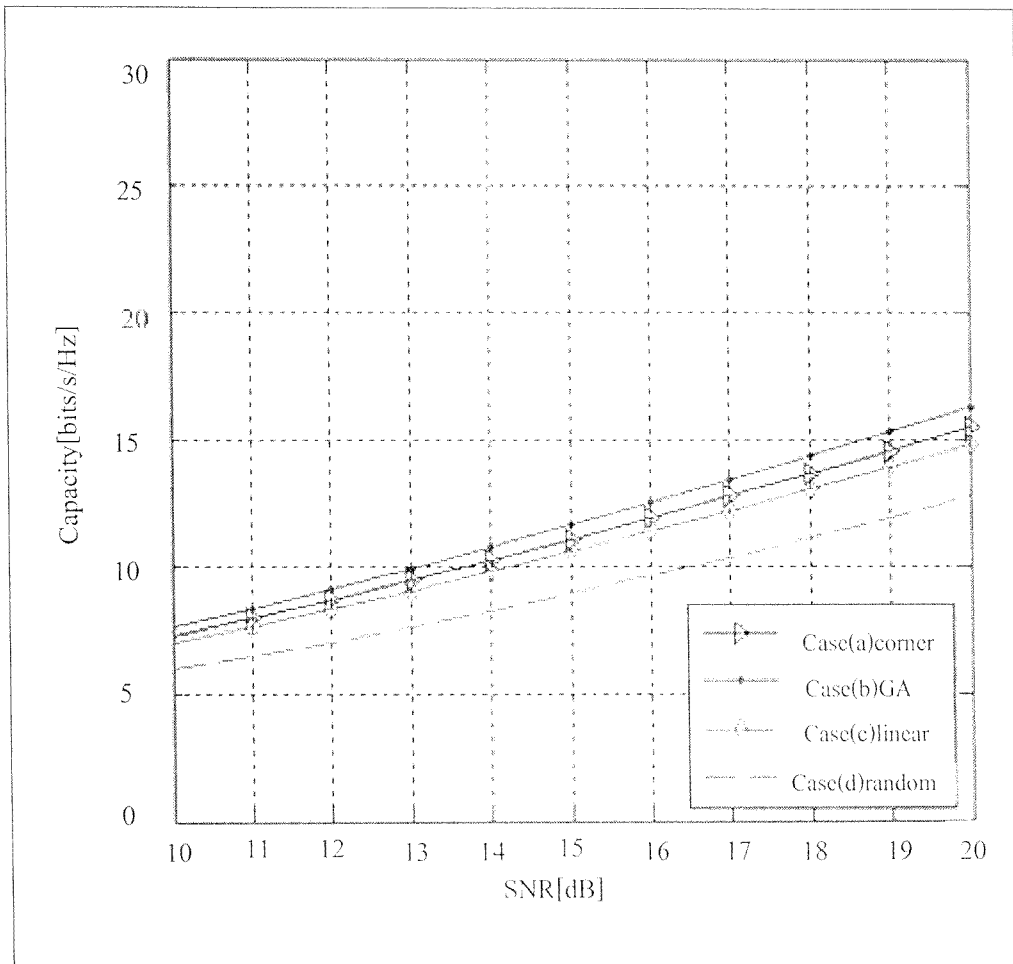
การหาความจุของช่องสัญญาณในโครงการวิจัยนี้จะเปรียบเทียบผลความจุของสัญญาณ 3 ส่วนมีอีกค่าผลดำเนินการจัดวางสายอากาศจากโปรแกรมวิธีจินเนติกอัลกอริทึ่ม สามารถนำมาหาค่าความจุของช่องสัญญาณนำมาเปรียบเทียบกับการจัดวางสายอากาศในกรณีอื่น ๆ ได้และเมื่อได้ผลดำเนินการจัดวางสายอากาศจากวิธีจินเนติกอัลกอริทึ่ม และได้นำมาจำลองผลดำเนินการจัดวางผ่านโปรแกรม CST microwave studio และวัดจริง ซึ่งจะได้ค่า Z อิมพีเดนซ์เพื่อนำไปแทนในสมการ 3.10 แล้วทำการวิเคราะห์ผ่านโปรแกรมแมทແลป จะสามารถหาค่าความจุของช่องสัญญาณได้ดังต่อไปนี้



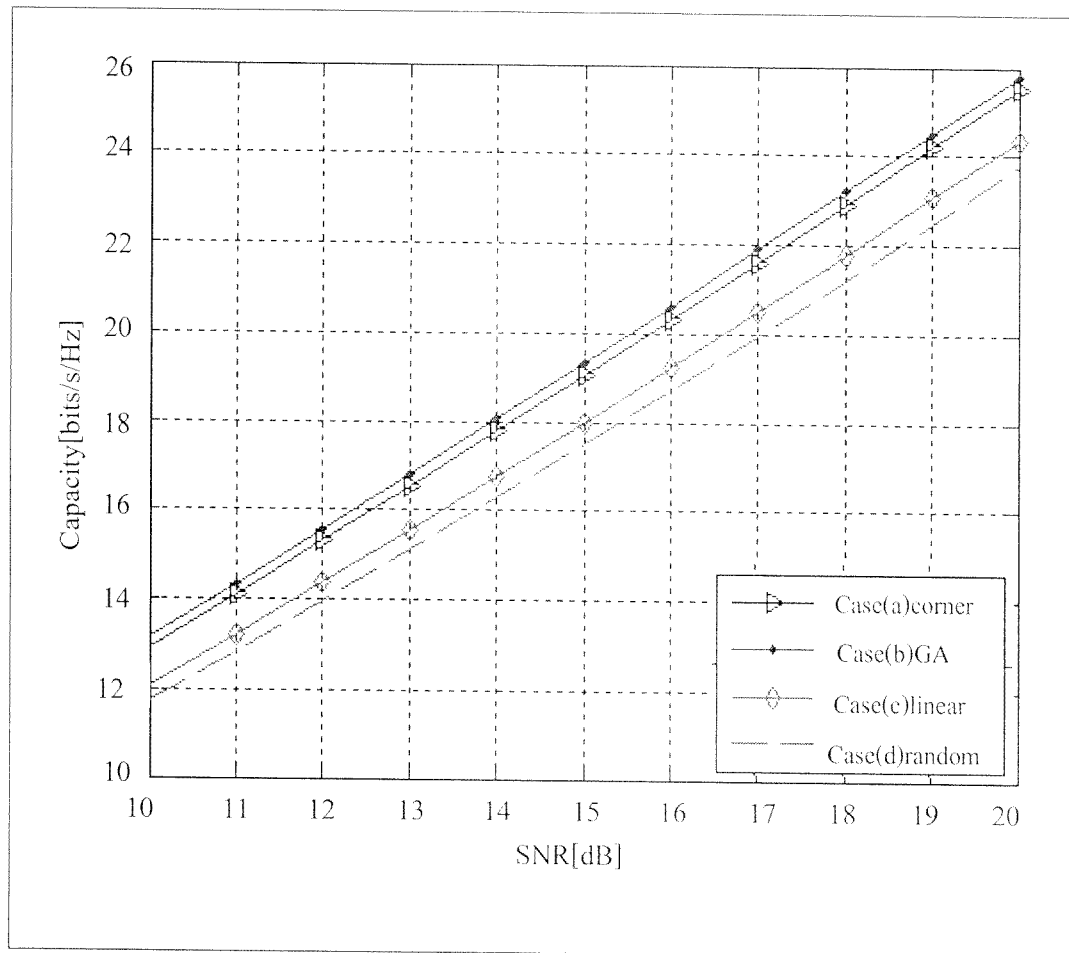
รูปที่ 4-24 ความจุของสัญญาณที่ยืนกับอัตราส่วนสัญญาณต่อสัญญาณรบกวนในกรณีใหม่ 3x3 โดยใช้ผลดำเนินการวิธีจินเนติกอัลกอริทึ่ม



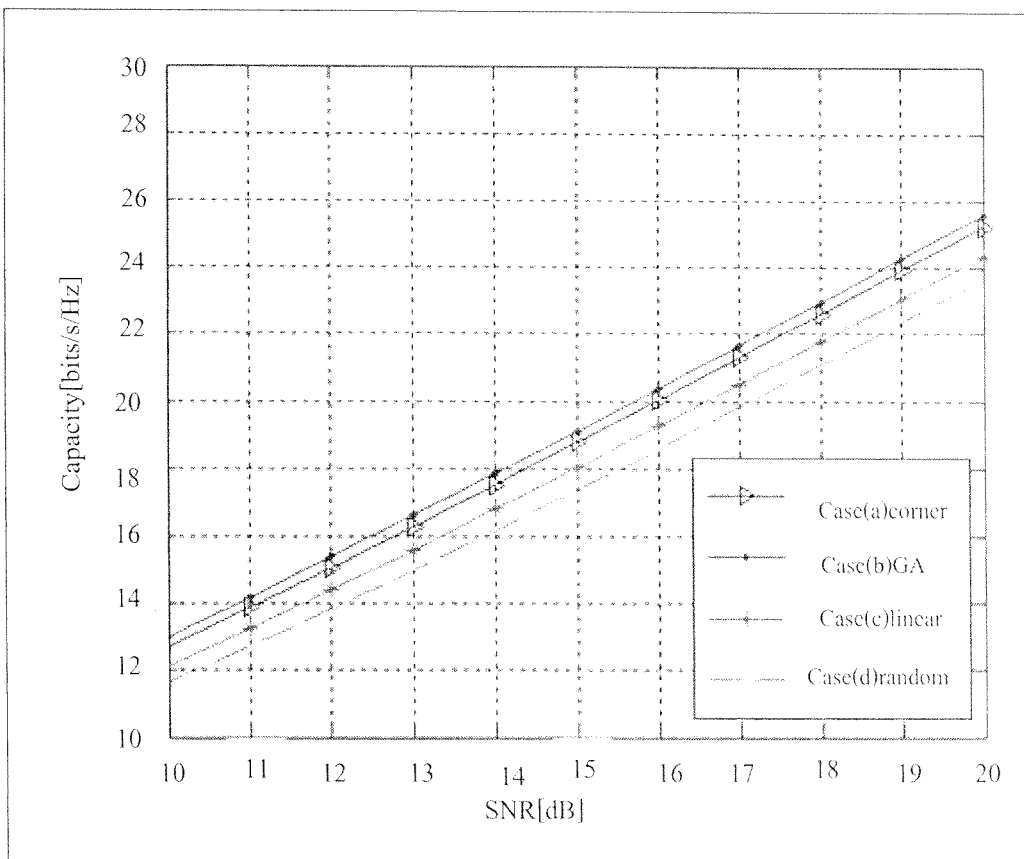
รูปที่ 4-25 ความจุของสัญญาณเทียบกับอัตราส่วนสัญญาณต่อสัญญาณรบกวนในการณ์ในไม 3x3 โดยใช้ผล Z อิมพีเดนซ์จากโปรแกรม CST microwave studio



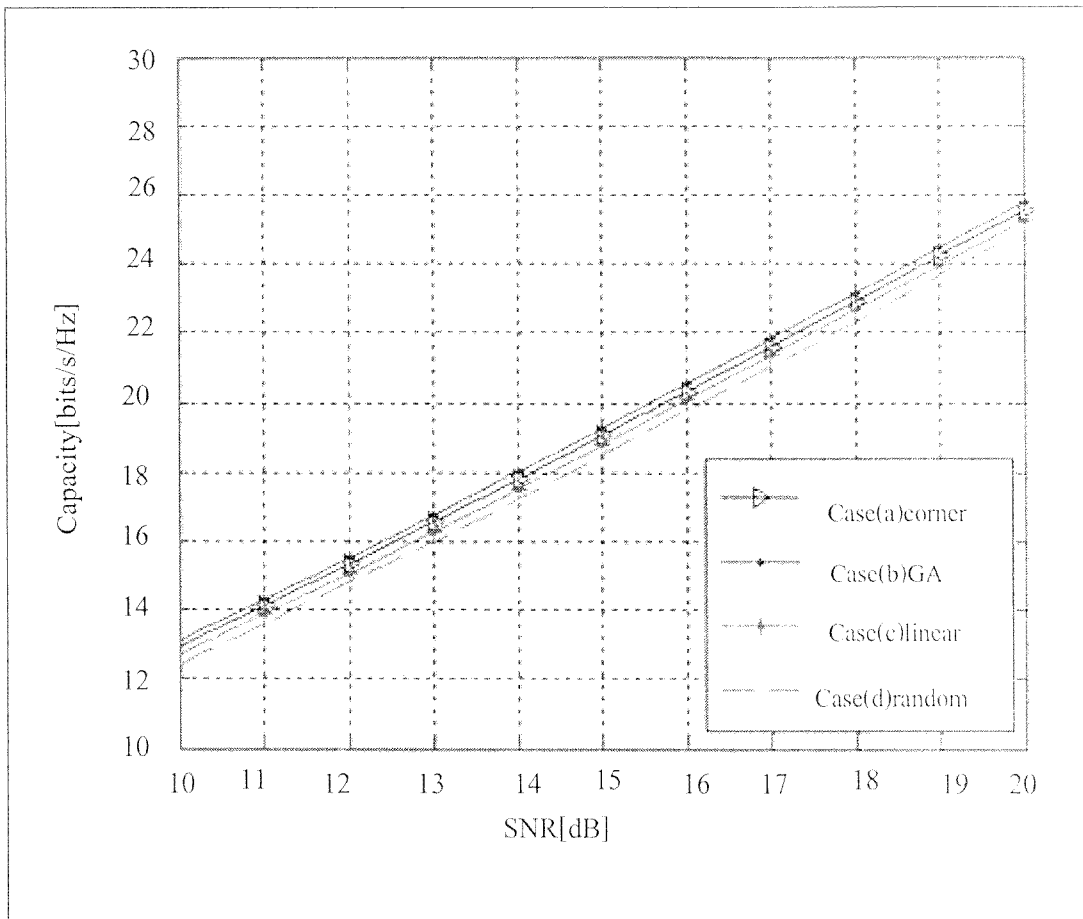
รูปที่ 4-26 ความจุของสัญญาณเทียบกับอัตราส่วนสัญญาณต่อสัญญาณรากวนในกรณีไม่มี 3x3 ໄคบใช้ผล Z อินพีเดนซ์จากการวัดจริง



รูปที่ 4-27 ความจุของสัญญาณเทียบกับอัตราส่วนสัญญาณต่อสัญญาณรบกวนในกรณีใหม่ 4x4 โดยใช้ผลดำเนินการวิจัยแบบอัลกอริทึม



รูปที่ 4-28 ความจุของสัญญาณที่บันทึกตราส่วนสัญญาณต่อสัญญาณรบกวนในกรณีไม่โ้ม 4×4 โดยใช้ผล Z อินพีเดนซ์จากโปรแกรม CST microwave studio



รูปที่ 4-29 ความจุช่องสัญญาณเทียบกับอัตราส่วนสัญญาณต่อสัญญาณรบกวนในกรณีใหม่ใน 4×4 โดยใช้ชุด Z อินพิดน์ซ์จากการวัดจริง

4.6.1 วิเคราะห์ผลการจำลองแบบและการทดสอบ

จากการทดสอบการจำลองแบบ โดยโปรแกรมแมทแลปเพื่อหาตำแหน่งการจัดวางสายอากาศบนอุปกรณ์โทรศัพท์เคลื่อนในระบบ MIMO 3×3 และ 4×4 ซึ่งใช้วิธีจินแนติกอัลกอริทึมเพื่อหาตำแหน่งที่เหมาะสมที่สุดซึ่งผลตำแหน่งที่ได้จากวิธีจินแนติกอัลกอริทึมได้ผลค่าความจุช่องสัญญาณที่ดีที่สุดเปรียบเทียบกับตำแหน่งในกรณีอื่น ๆ ทั้งผลการจำลองด้วยโปรแกรม CST microwave studio และการวัดจริง ซึ่งผลการทดสอบแสดงว่าผลของตำแหน่งที่ได้จากวิธีจินแนติกอัลกอริทึมนี้มีความถูกต้องและให้ผลค่าความจุช่องสัญญาณมากกว่ากรณีเปรียบเทียบอื่นๆ ทุกกรณีการทดสอบดังกล่าวสามารถเป็นที่ยืนยันว่าการจัดวางสายอากาศด้วยตำแหน่งที่ได้จากการหาตำแหน่งที่ดีที่สุดจากวิธีจินแนติกอัลกอริทึมนี้สามารถมาเพิ่มความจุช่องช่องสัญญาณได้

4.7 จากการหาตำแหน่งการจัดวางสายอากาศด้วยเทคนิควิธีจีนแนติกอัลกอริทึมในช่องสัญญาณแบบ

“Two-Ring” โดยพิจารณาที่กระทำกันระหว่างภาครับและภาคลง

ผลจากการจำลองแบบในการหาระยะและตำแหน่งการจัดวางตัวของสายอากาศบนโทรศัพท์เคลื่อนที่โดยใช้ optimization toolbox ในโปรแกรมแมทແลด์โดยหาตำแหน่งการจัดวางสายอากาศในช่องสัญญาณแบบ “Two-Ring” โดยพิจารณาที่กระทำกันระหว่างภาครับ และภาคลงจากฐานที่ 2-3 โดยจะทำการหาตำแหน่งของการจัดวางสายอากาศในระบบไม่โโน 4×4 ซึ่งจะได้ตำแหน่งในแต่ละกรณีดังตารางที่ 4-20 โดยได้ทำการจำลองผลผ่านโปรแกรมแมทແลด์ และทำการวัดจริงโดยผ่านเครื่องวิเคราะห์วงจรข่าย เพื่อวัดค่าอิมพีเดนซ์

ตารางที่ 4-20 แสดงผลตำแหน่งการจัดวางสายอากาศซึ่งได้จากวิธีจีนแนติกอัลกอริทึมในแต่ละกรณี

MIMO 4x4 Case	ตำแหน่งการจัดวางสายอากาศพิกัด x, y (มิลลิเมตร)			
	Antenna (1)	Antenna (2)	Antenna (3)	Antenna (4)
360-360	11.94,14.14	59.85,1.77	16.48,97.08	46.84,104.99
360-60	16.52,19.36	49.27,12.478	19.87,95.20	48.19,97.82
60-360	14.08,16.68	52.51,8.11	16.83,99.42	44.2,94.48
60-60	16.38,10.4	51.91,12.38	15.58,88.96	47.37,87.62
average	14.73,15.14	53.39,8.68	17.19,95.17	46.65,96.23

ตารางที่ 4-21 แสดงค่า z อิมพีเดนซ์ของสายอากาศ 4 ต้นในกรณีมุ่งส่งที่ 360 และมุ่งรับที่ 360

ค่า z อิมพีเดนซ์ของสายอากาศ			
$44.137 + 2.431i$	$52.324 - 3.974i$	$51.552 - 1.493i$	$48.457 - 0.011i$
$52.324 - 3.974i$	$47.164 + 5.033i$	$50.782 - 1.465i$	$49.133 - 1.681i$
$51.552 - 1.493i$	$50.782 - 1.465i$	$47.943 + 0.896i$	$52.894 - 1.401i$
$48.4578 - 0.011i$	$49.133 - 1.681i$	$52.894 - 1.401i$	$46.435 - 1.148i$

ตารางที่ 4-22 แสดงค่า z อิมพีเดนซ์ของสายอากาศ 4 ต้นในกรณีมุ่งส่งที่ 360 และมุ่งรับที่ 60

ค่า z อิมพีเดนซ์ของสายอากาศ			
$44.124 + 0.430i$	$47.387 - 3.394i$	$52.197 + 1.595i$	$51.779 - 0.340i$
$47.387 - 3.394i$	$46.786 + 5.059i$	$50.450 - 1.085i$	$52.630 + 0.130i$
$52.197 + 1.595i$	$50.450 - 1.085i$	$45.254 + 3.870i$	$52.701 + 0.232i$
$51.779 - 0.340i$	$52.630 + 0.130i$	$52.701 + 0.239i$	$46.715 + 1.057i$

ตารางที่ 4-23 แสดงค่า z อิมพีเดนซ์ของสายอากาศ 4 ต้นในกรณีมุ่งส่งที่ 60 และมุ่งรับที่ 360

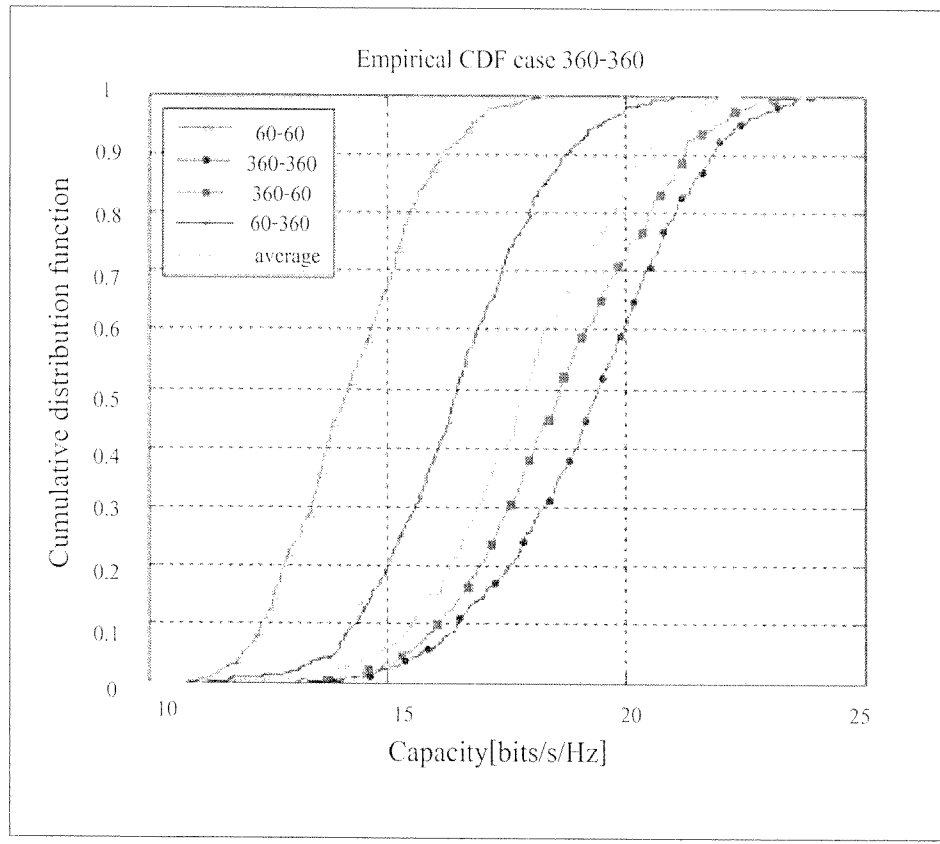
ค่า z อิมพีเดนซ์ของสายอากาศ			
$44.351 - 1.377i$	$49.451 - 4.223i$	$51.872 + 1.608i$	$52.324 + 2.592i$
$49.459 - 4.227i$	$45.205 + 2.726i$	$50.436 - 1.071i$	$53.174 - 1.174i$
$51.872 + 1.601i$	$50.436 - 1.071i$	$43.185 + 2.633i$	$53.195 - 0.344i$
$52.324 + 2.599i$	$53.174 - 1.174i$	$53.195 - 0.344i$	$47.849 - 0.716i$

ตารางที่ 4-24 แสดงค่า z อิมพีเดนซ์ของสายอากาศ 4 ต้นในกรณีมุมส่างที่ 60 และมุมรับที่ 60

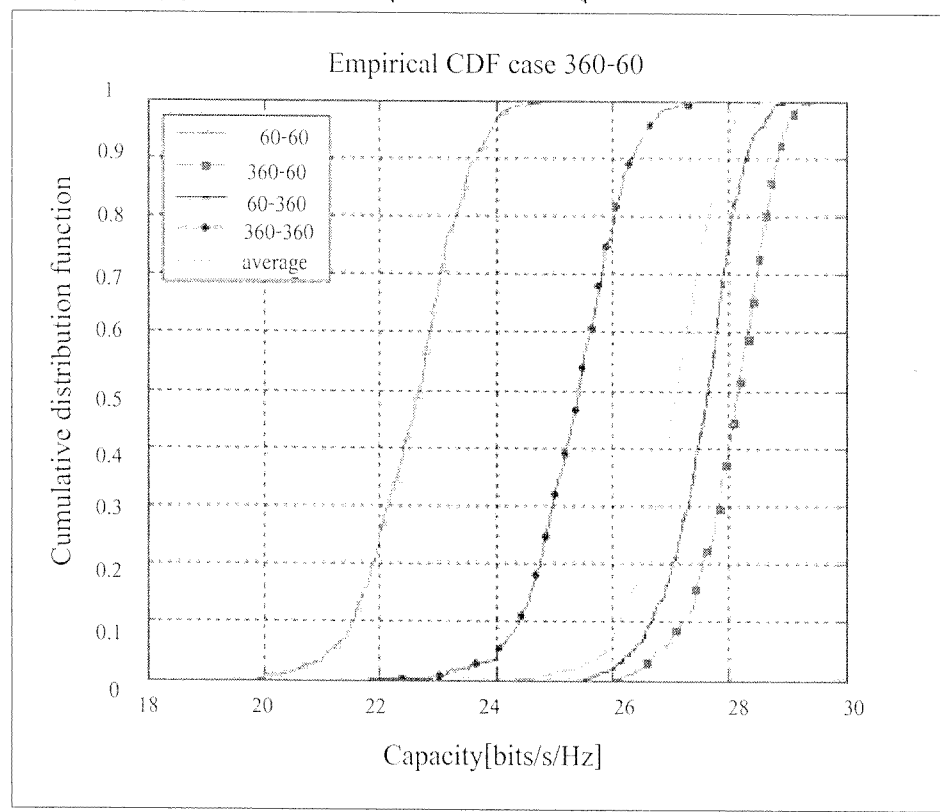
ค่า z อิมพีเดนซ์ของสายอากาศ			
$46.021 + 2.017i$	$53.447 - 3.407i$	$51.645 + 1.425i$	$52.020 + 0.781i$
$53.447 - 3.407i$	$50.245 + 4.352i$	$51.572 - 0.365i$	$52.101 + 0.654i$
$51.645 + 1.425i$	$51.572 - 0.365i$	$45.677 - 0.470i$	$53.937 - 1.697i$
$52.020 + 0.781i$	$52.101 + 0.654i$	$53.937 - 1.697i$	$50.620 - 2.089i$

ตารางที่ 4-25 แสดงค่า z อิมพีเดนซ์ของสายอากาศ 4 ต้นในกรณีค่าเฉลี่ยจากการมีทั้งหมด

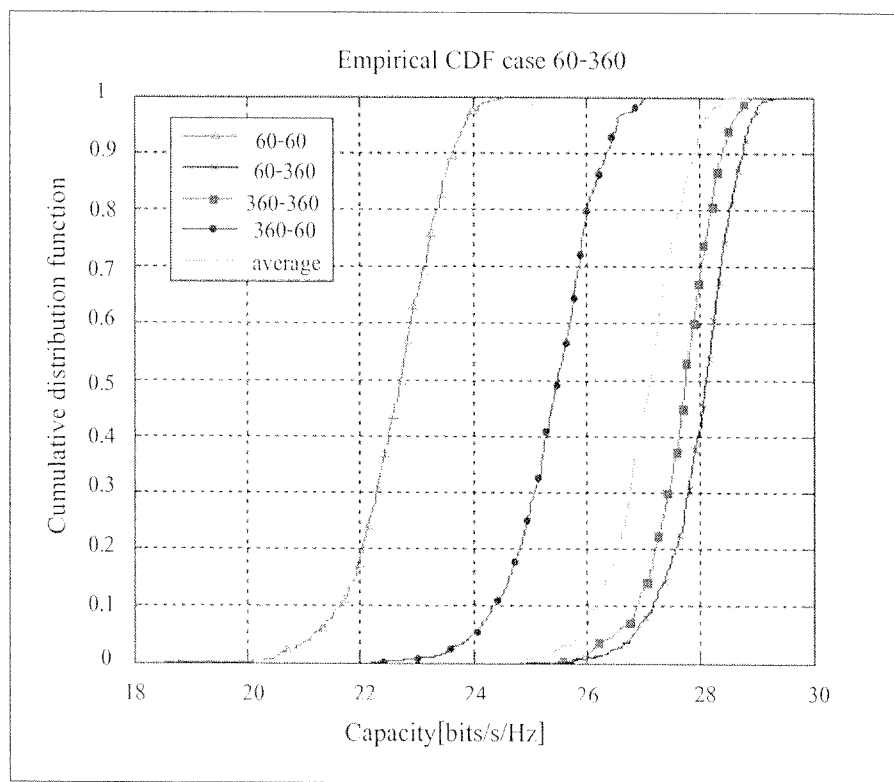
ค่า z อิมพีเดนซ์ของสายอากาศ			
$43.331 - 1.339i$	$48.559 - 3.923i$	$52.873 + 1.729i$	$52.334 - 4.512i$
$48.559 - 3.923i$	$42.215 + 4.723i$	$49.426 - 1.271i$	$52.234 + 1.224i$
$52.873 + 1.729i$	$49.426 - 1.271i$	$44.292 - 2.613i$	$51.421 + 1.239i$
$52.334 - 4.512i$	$52.234 + 1.224i$	$51.421 + 1.239i$	$43.849 - 0.216i$



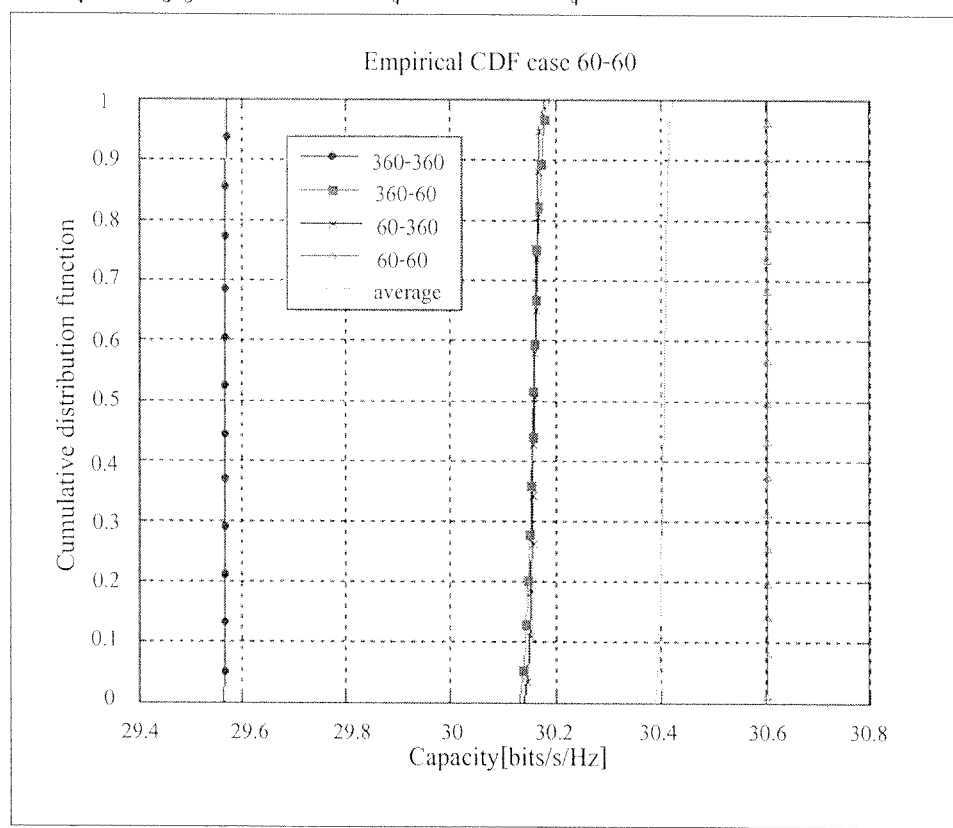
รูปที่ 4-30 ความจุช่องสัญญาณ CDF สำหรับมุมล่างที่ 360 และมุมรับที่ 360 เมื่อเทียบกับกรณีอื่น



รูปที่ 4-31 ความจุช่องสัญญาณ CDF สำหรับมุมล่างที่ 360 และมุมรับที่ 60 เมื่อเทียบกับกรณีอื่น



รูปที่ 4-32 ความจุช่องสัญญาณ CDF สำหรับมุมสั่งที่ 60 และมุมรับที่ 360 เปรียบเทียบกับกรณีอื่น



รูปที่ 4-33 ความจุช่องสัญญาณ CDF สำหรับมุมสั่งที่ 60 และมุมรับที่ 60 เปรียบเทียบกับกรณีอื่น

4.7.1 วิเคราะห์ผลการจำลองแบบและการทดสอบ

จะเห็นได้ว่าผลตำแหน่งที่ได้จากการจำลองแบบโดยวิเคราะห์ผลจากการทดสอบหาตำแหน่งที่เหมาะสมของการจัดวางตัวของสายอากาศ โดยพิจารณาถึงผลกระทบจากปรากฏการณ์การเชื่อมต่อร่วมระหว่างสายอากาศรวมถึงการจำลองผลและการทดสอบสำหรับการวัดจริง โดยพิจารณาใน 2 ช่องสัญญาณที่แตกต่างกันคือในช่องสัญญาณแบบมีความอิสระต่อกันและมีการแยกแจงเหมือนกัน โดยพิจารณาช่องสัญญาณการจ้างหายแบบเดียวกันและช่องสัญญาณแบบ “Two-Ring” โดยพิจารณาดูที่กระทำกันระหว่างภาครัตน์และภาคส่วนจากผลที่ได้จากการค้นหาตำแหน่งการจัดวางสายอากาศในการพิจารณาความจุช่องสัญญาณ ผลที่ได้จากการจัดวางสายอากาศด้วยตำแหน่งที่ได้จากการจำลองแบบมีประสิทธิภาพที่เหนือกว่าตำแหน่งการจัดวางสายอากาศในกรณีอื่น ๆ ไม่ว่าจะพิจารณาช่องสัญญาณแบบไหน

4.8 กล่าวท้ายบท

ในบทนี้แสดงผลที่ได้จากการจำลองผล โดยวิเคราะห์ผลจากการหาตำแหน่งที่เหมาะสมของการจัดวางตัวของสายอากาศ โดยพิจารณาถึงผลกระทบจากปรากฏการณ์การเชื่อมต่อร่วมระหว่างสายอากาศรวมถึงการจำลองผลและการทดสอบสำหรับการวัดจริง โดยพิจารณาใน 2 ช่องสัญญาณที่แตกต่างกันคือในช่องสัญญาณแบบมีความอิสระต่อกันและมีการแยกแจงเหมือนกัน โดยพิจารณาช่องสัญญาณการจ้างหายแบบเดียวกันและช่องสัญญาณแบบ “Two-Ring” โดยพิจารณาดูที่กระทำกันระหว่างภาครัตน์และภาคส่วนจากผลที่ได้จากการค้นหาตำแหน่งการจัดวางสายอากาศในการพิจารณาความจุช่องสัญญาณ ผลที่ได้จากการจัดวางสายอากาศด้วยตำแหน่งที่ได้จากการจำลองแบบมีประสิทธิภาพที่เหนือกว่าตำแหน่งการจัดวางสายอากาศในกรณีอื่น ๆ ไม่ว่าจะพิจารณาช่องสัญญาณแบบไหน